



ФГБУ «Арктический и антарктический научно-исследовательский институт»

МЦД МЛ

Информационные материалы по мониторингу морского ледяного покрова
Арктики и Южного Океана на основе данных ледового картирования и
пассивного микроволнового зондирования SSMR-SSM/I-SSMIS-AMSR₂

25.07.2022 – 02.08.2022

№ 32(567)

Санкт-Петербург 2022

тел. +7(812)337-3149, эл. почта: vms@aari.aq

Адрес в сети Интернет: <http://wdc.aari.ru/datasets/doo42/>

Содержание

Северное Полушарие	4
Рисунок 1а – Ледовая карта СЛО и повторяемость кромки за текущую неделю (цветовая окраска по общей сплоченности)	Ошибка! Закладка не определена.
Рисунок 1б – Ледовая карта СЛО и повторяемость кромки за текущую неделю (цветовая окраска по преобладающему возрасту)	
Рисунок 1в – Положение кромки льда и зон разреженных и сплоченных льдов СЛО за последний доступный срок на основе ледового анализа НЛЦ США	6
Рисунок 2а – Обзорная ледовая карта СЛО за текущую неделю и аналогичные периоды 2007-2019.	7
Рисунок 2б – Поля распределения средневзвешенной толщины льда совместной модели морского льда – океана HYCOM/CICE Датского метеорологического института	8
Рисунок 2в – Поля распределения средней за 36-часовые промежутки температуры поверхности морского льда и океана Датского метеорологического института	9
Рисунок 2г – Поле дрейфа морского льда Арктики по расчетам МЦД МЛ ААНИИ, источник данных EUMETSAT OSISAF, AMSR-2	10
Рисунок 2д – Ежедневные оценки сезонного хода объема морского льда СЛО на основе расчетов средневзвешенной толщины льда совместной модели морского льда – океана HYCOM/CICE Датского метеорологического института	11
Рисунок 2е – Аномалии приземной температуры воздуха (2м) и осредненные вектора скорости ветра (10 м)	12
Таблица 1 – Динамика изменения значений ледовитости для акваторий Северной полярной области за текущую неделю по данным наблюдений SSMR-SSM/I-SSMIS	16
Таблица 2 – Медианные значения ледовитости для Северной полярной области и 3-х меридиональных секторов за текущие 30 и 7-дневные интервалы и её аномалии от 2011-2016 гг. и интервалов 2006-2017 гг. и 1978-2017 гг. по данным наблюдений SSMR-SSM/I-SSMIS	16
Таблица 3 – Экстремальные и средние значения ледовитости для Северной полярной области и 3 меридиональных секторов за текущий 7-дневный интервал по данным наблюдений SSMR-SSM/I-SSMIS, алгоритм NASATEAM	16
Рисунок 3а – Ежедневные оценки сезонного хода ледовитости для Северной Полярной Области и её трех меридиональных секторов за период с 26.10.1978 по текущий момент времени по годам. ..	19
Рисунок 3б – Ежедневные оценки сезонных изменений ледовитости для Северной Полярной Области с 26.10.1978 по текущий момент времени	20
Рисунок 4 – Медианные распределения сплоченности льда за текущие 7 дневные промежутки (слева) и её разности относительно медианного распределения за те же промежутки за периоды 1979-2020 (центр) и 2009-2020 гг. (справа) на основе расчетов по данным SSMR-SSM/I-SSMIS, алгоритмы NASATEAM	
Южный океан	21
Рисунок 5 а,б – Ледовая карта Южного Океана за последний доступный срок (окраска по общей сплоченности и преобладающему возрасту)	19,22
Рисунок 5в – Положение кромки льда и зон разреженных и сплоченных льдов Южного Океана за последний доступный срок на основе ледового анализа НЛЦ США.	23
Рисунок 5д – Анализ ААНИИ крупных айсбергов Южного океана	Ошибка! Закладка не определена.
Таблица 4 – Параметры крупных айсбергов Южного океана на основе анализа ААНИИ	23
Рисунок 7а – Ежедневные оценки сезонного хода ледовитости Южного Океана и его трёх меридиональных секторов за период с 26.10.1978 по текущий момент времени по годам	27
Рисунок 7б – Ежедневные оценки сезонного хода ледовитости Южного Океана и его трёх меридиональных секторов за период с 26.10.1978 по текущий момент времени.	28
Рисунок 8 – Медианные распределения общей сплоченности льда за текущие 7 дневные промежутки (слева) и её разности относительно медианного распределения за тот же промежуток за периоды 1979-2020 (центр) и 2009-2020 гг. (справа) на основе расчетов по данным SSMR-SSM/I-SSMIS, алгоритм NASATEAM	
Таблица 5 – Динамика изменения значений ледовитости для акваторий Южного океана за текущий 7-дневный интервал по данным наблюдений SSMR-SSM/I-SSMIS	29
Таблица 6 – Медианные значения ледовитости для Южного океана и 3 меридиональных секторов за текущие 30 и 7-дневные интервалы и её аномалии от 2011-2016 гг. и интервалов 2007-2017 гг. и 1978-2017 гг. по данным наблюдений SSMR-SSM/I-SSMIS, алгоритм NASATEAM	29

Таблица 7 – Экстремальные и средние значения ледовитости для Южного океана и 3 меридиональных секторов за текущий 7-дневный интервал по данным наблюдений SSMR-SSM/I-SSMIS, алгоритм NASATEAM.....	29
Земля в целом	
Рисунок 9 – Ежедневные сглаженные окном 365 суток значения ледовитости Арктики, Антарктики и Земли в целом с 26.10.1978 на основе SSMR-SSM/I-SSMIS	30
Рисунок 10 – Ежедневные сглаженные окном 365 суток значения приведенной ледовитости Арктики, Антарктики и Земли в целом с 26.10.1978 на основе SSMR-SSM/I-SSMIS	31
Рисунок 11 – Ежедневные сглаженные окном 365 суток значения общей сплоченности Арктики и Антарктики с 26.10.1978 на основе SSMR-SSM/I-SSMIS	32
Приложение 1 – Статистические значения ледовитостей по отдельным акваториям Северной Полярной Области и Южного океана	33
Таблица 8 – Средние, аномалии среднего и экстремальные значения ледовитостей для Северной полярной области и её отдельных акваторий за текущие 7-дневный (неделя) и 30-дневный промежутки времени по данным наблюдений SSMR-SSM/I-SSMIS, алгоритм NASATEAM за период 1978-2017 гг.....	33
Таблица 9 – Средние, аномалии среднего и экстремальные значения ледовитостей для Южного океана и его отдельных акваторий за текущие 7-дневный и 30-дневный промежутки времени по данным наблюдений SSMR-SSM/I-SSMIS, алгоритм NASATEAM за период 1978-2017	33
Таблица 10 – Динамика изменения значений ледовитости по сравнению с предыдущей неделей для морей Северной полярной области и Южного океана за текущий 7-дневный (неделя) промежутки времени по данным наблюдений SSMIS	37
Характеристика исходного материала и методика расчетов	33
Список источников	43

Северное Полушарие

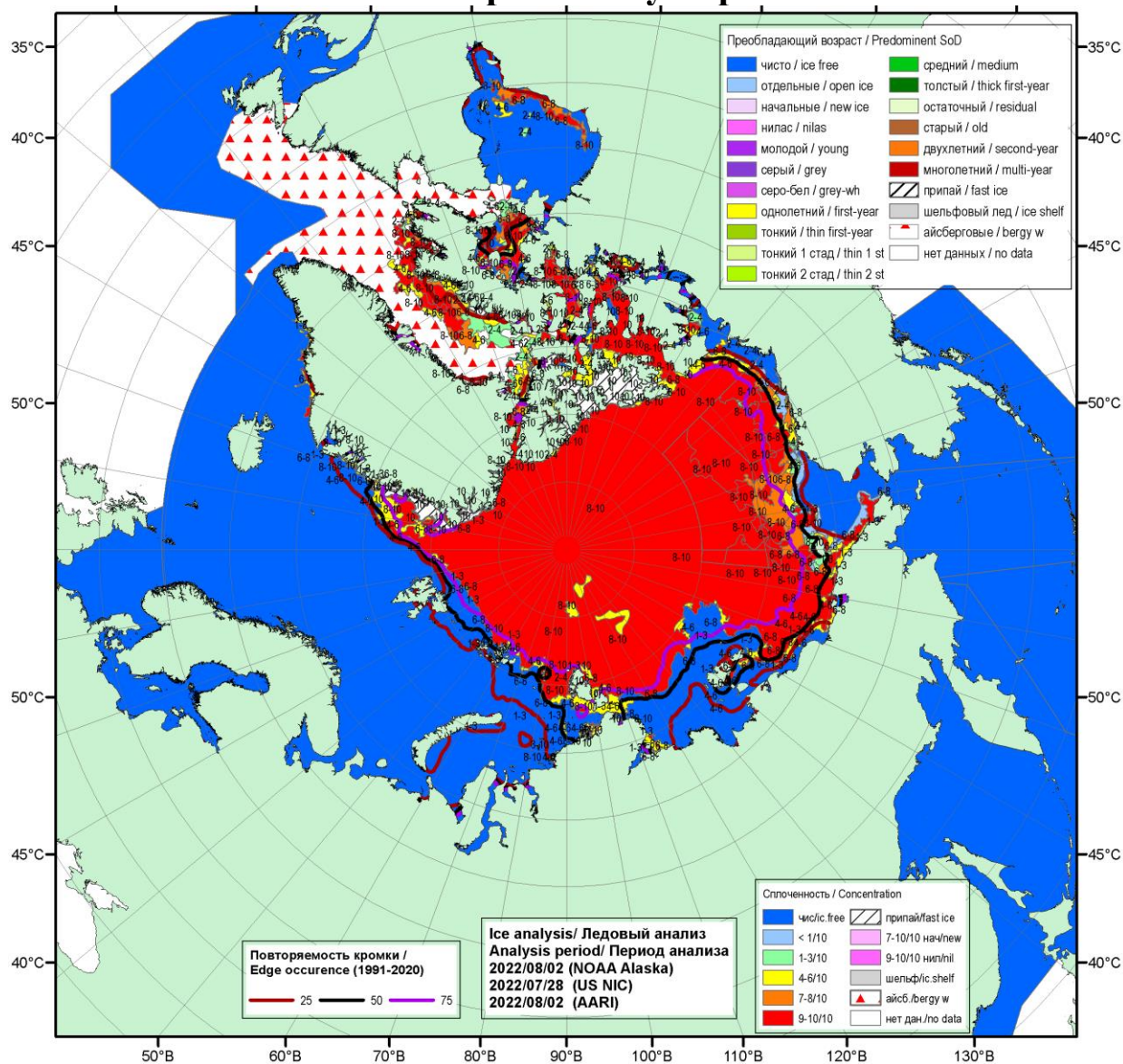


Рисунок 1а – Обзорная ледовая карта СЛО за СЛО за 28.07-02.08.2022 г. (цветовая раскраска по общей сплоченности) на основе ледового анализа ААНИИ (02.08), NOAA Аляска (02.08), Канадской ледовой службы (-.-) и Национального ледового центра США (28.07) и повторяемость кромки за 01-05.08 за период 1991-2020гг. по наблюдениям SSMR-SSM/I-SSMIS (алгоритм NASATEAM).

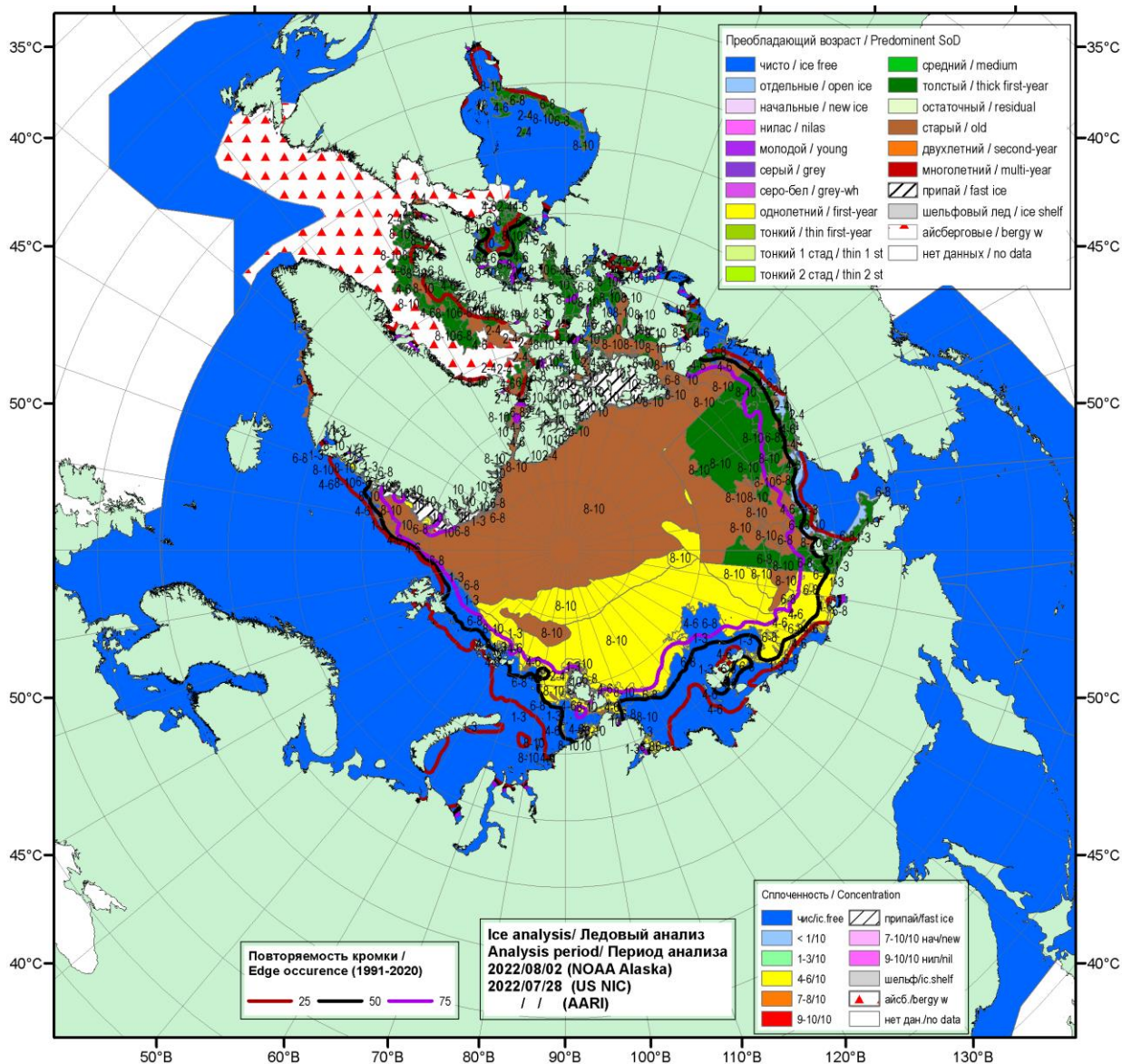


Рисунок 1б – Обзорная ледовая карта СЛО за СЛО за 28.07-02.08.2022 г. (цветовая раскраска по преобладающему возрасту) на основе ледового анализа ААНИИ (-.-), NOAA Аляска (02.08), Канадской ледовой службы (-.-) и Национального ледового центра США (28.07) и повторяемость кромки за 01-05.08 за период 1991-2020гг. по наблюдениям SSMR-SSM/I-SSMIS (алгоритм NASATEAM)

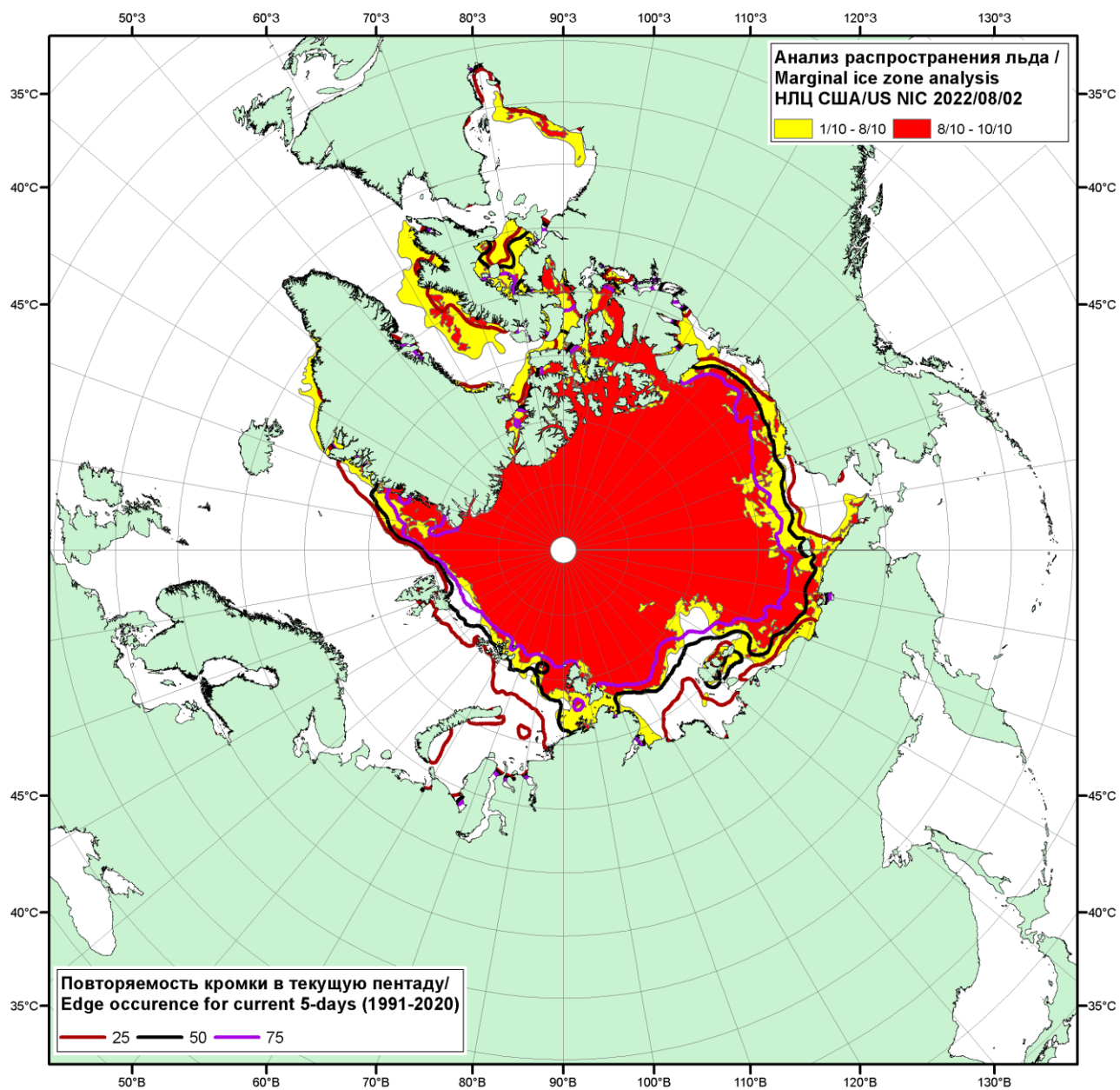


Рисунок 1г – Положение кромки льда и зон разреженных ($<8/10$) и сплоченных ($\geq 8/10$) льдов СЛО за 02.08.2022 г. на основе ледового анализа Национального Ледового Центра США и повторяемость кромки за 01-05.08 за период 1991-2020 гг. по наблюдениям SSMR-SSM/I-SSMIS (алгоритм NASATEAM)

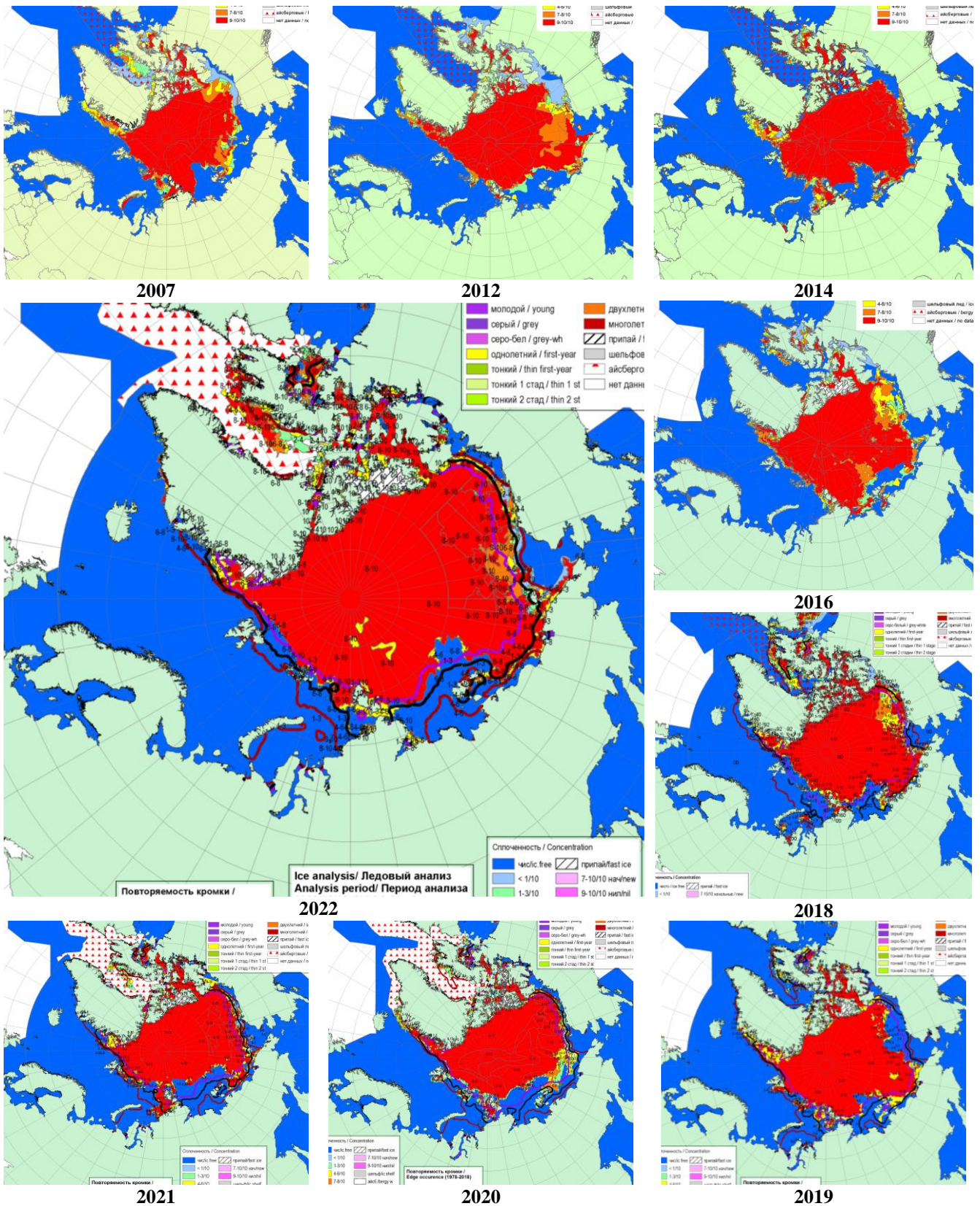


Рисунок 2а – Оценка сплоченности морского льда за 28.07-02.08.2022г. и аналогичные периоды 2007-2021гг. на основе ледового анализа ААНИИ, НИЦ Планета, Канадской ледовой службы и Национального ледового центра США.

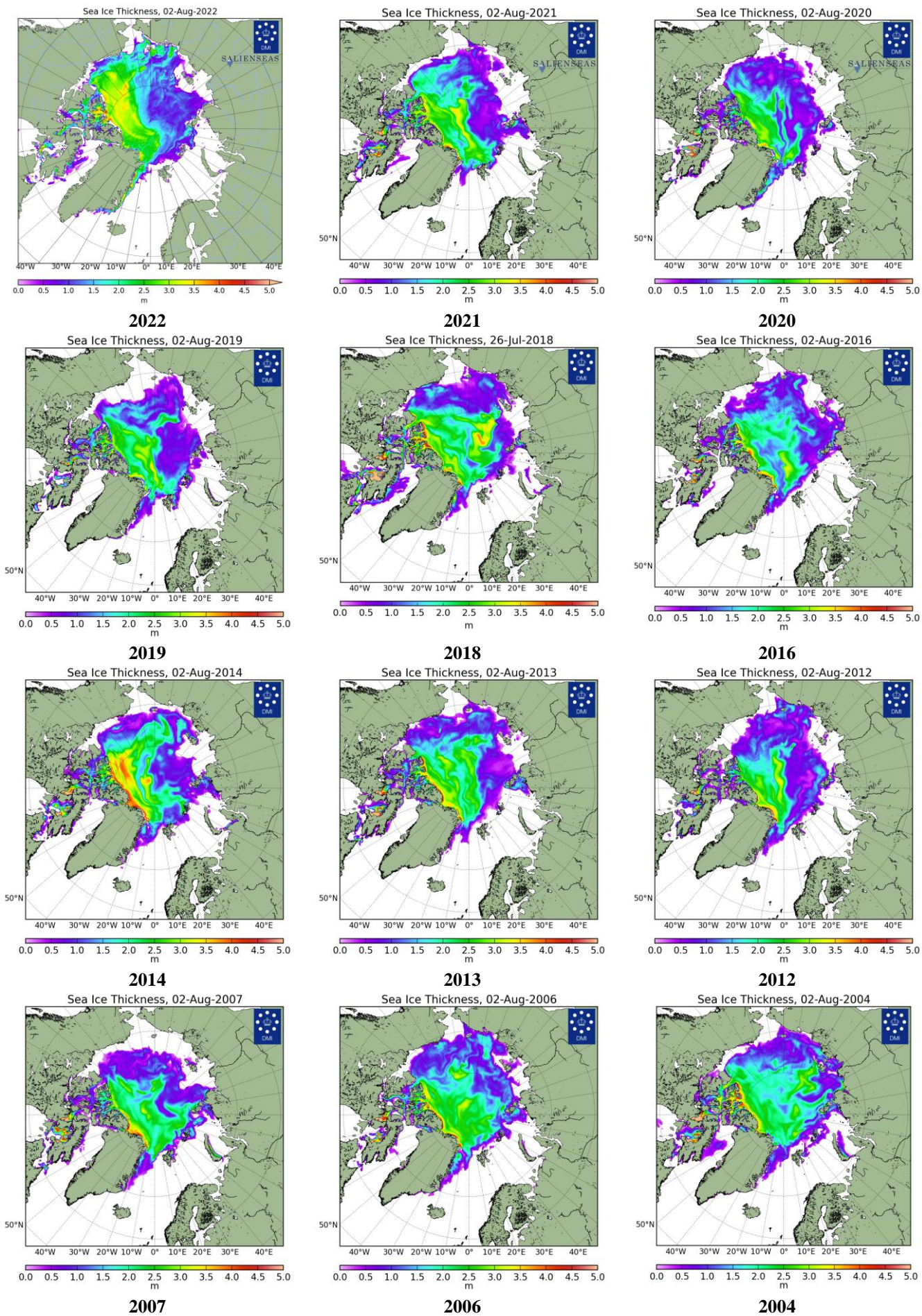


Рисунок 26 – Поля распределения средневзвешенной толщины льда совместной модели морского льда – океана НУСОМ/СІСЕ Датского метеорологического института 02.08 за 2004-2022 гг.

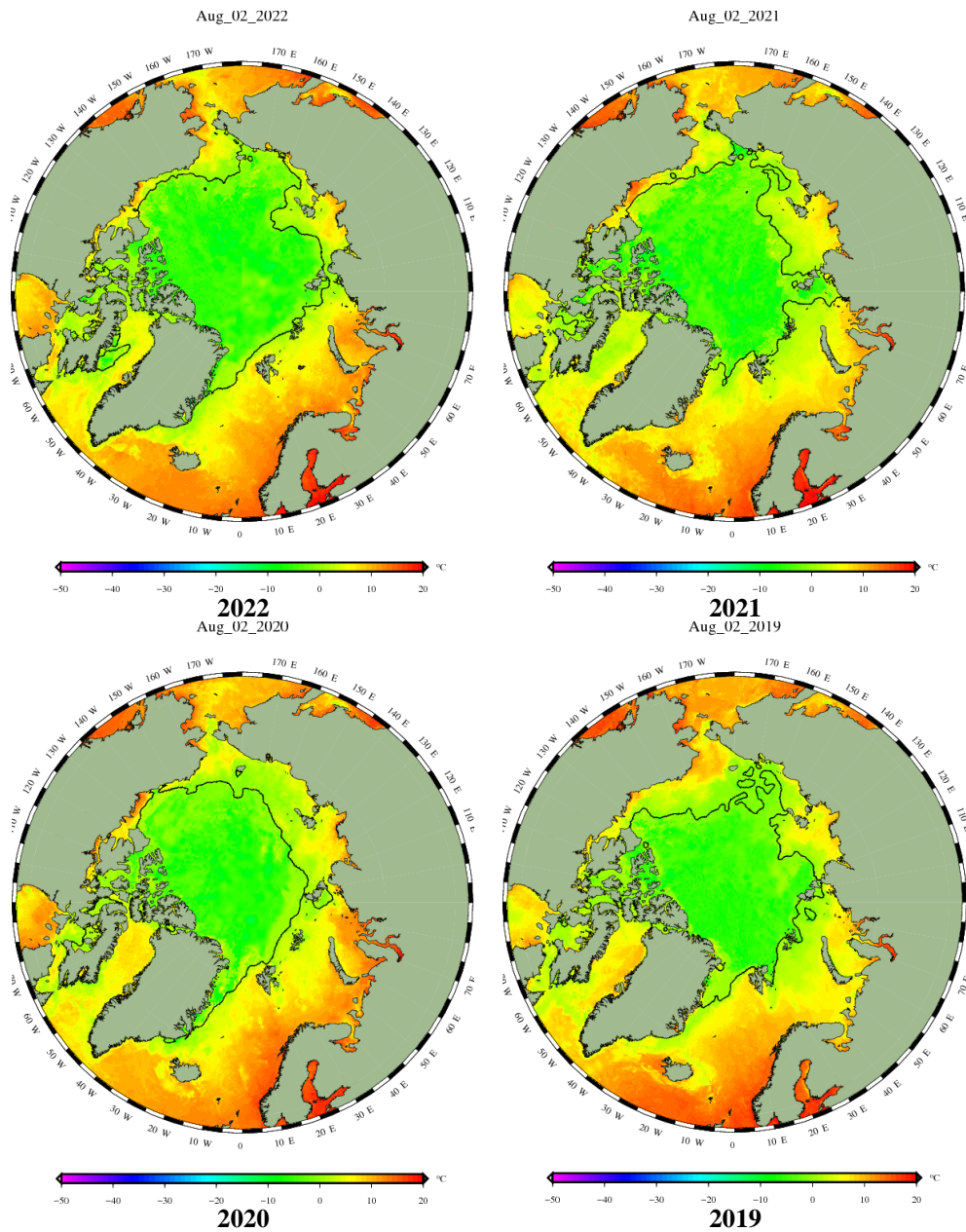


Рисунок 2в – Поля распределения средней за 36-часовые промежутки температуры поверхности морского льда и океана Датского метеорологического института на основе статистической обработки ИК-каналов AVHRR ИСЗ MetOp-A за 31.07-02.08 2019-2022 гг. (<http://polarportal.dk/en/sea-ice-and-icebergs/sea-ice-temperature/#c8099>)

Ice drift speed for 20220726T1200-20220802T1200

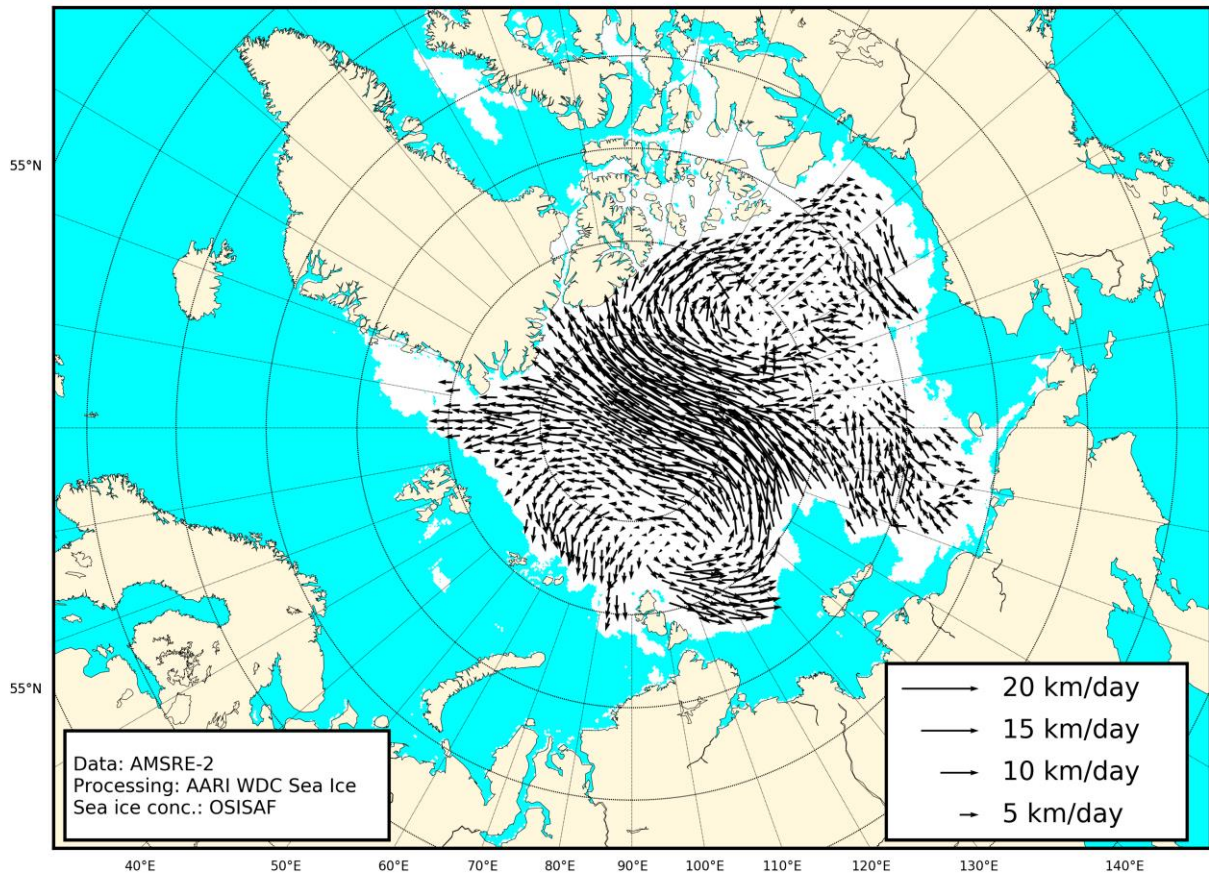


Рисунок 2г – Поле дрейфа морского льда Арктики за последние 7 суток, источник данных EUMETSAT OSISAF.

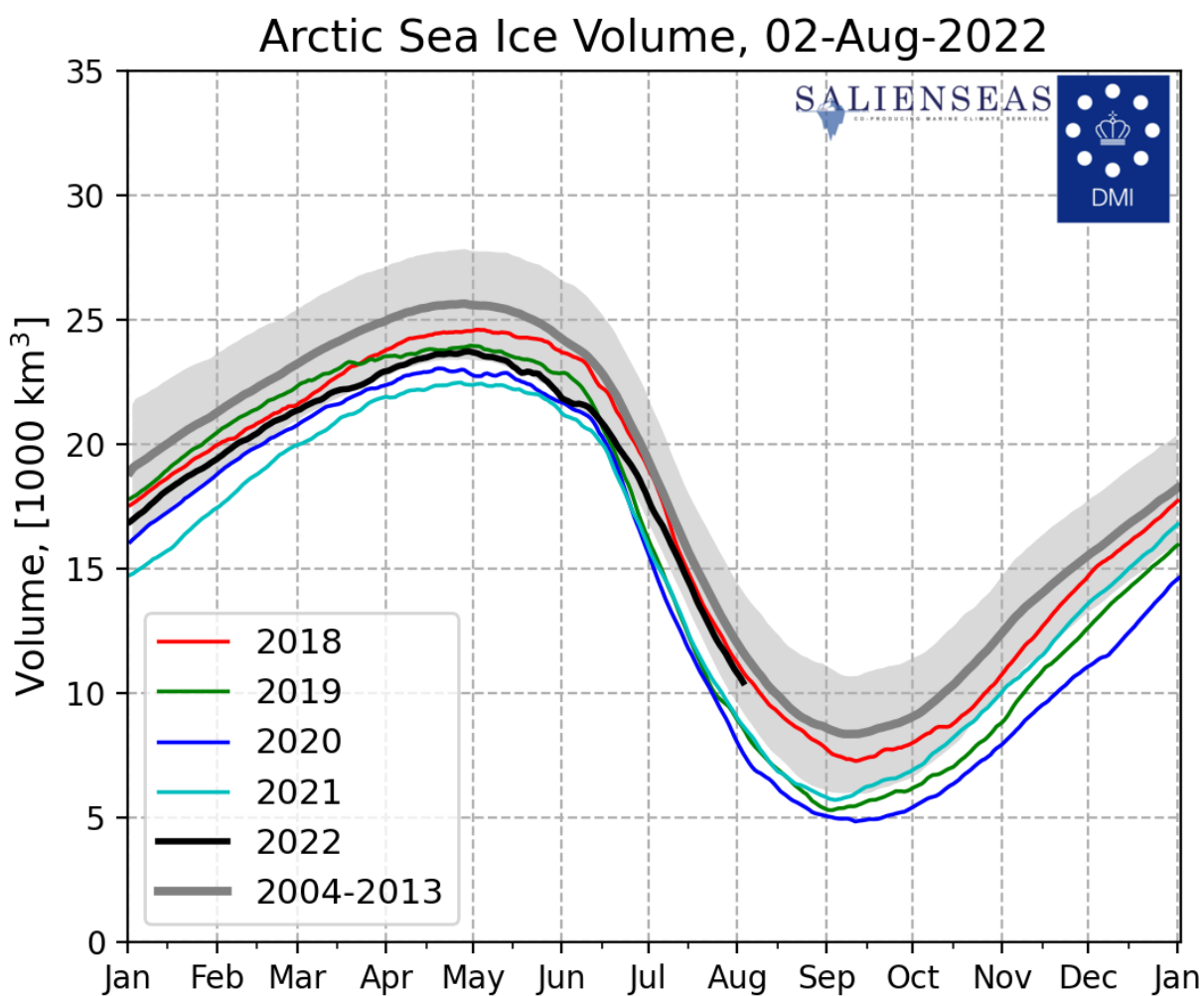
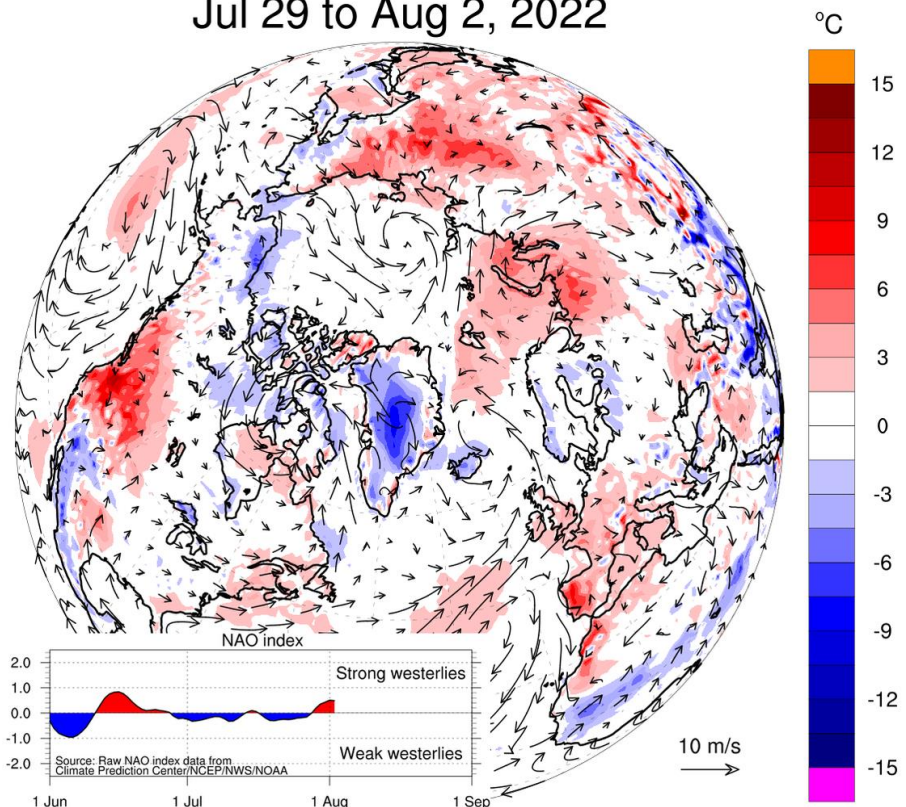


Рисунок 2д – Ежедневные оценки сезонного хода объема морского льда СЛО на основе расчетов средневзвешенной толщины льда совместной модели морского льда – океана HYCOM/CICE Датского метеорологического института с 14.01.2004 по 26.07.2022 гг.

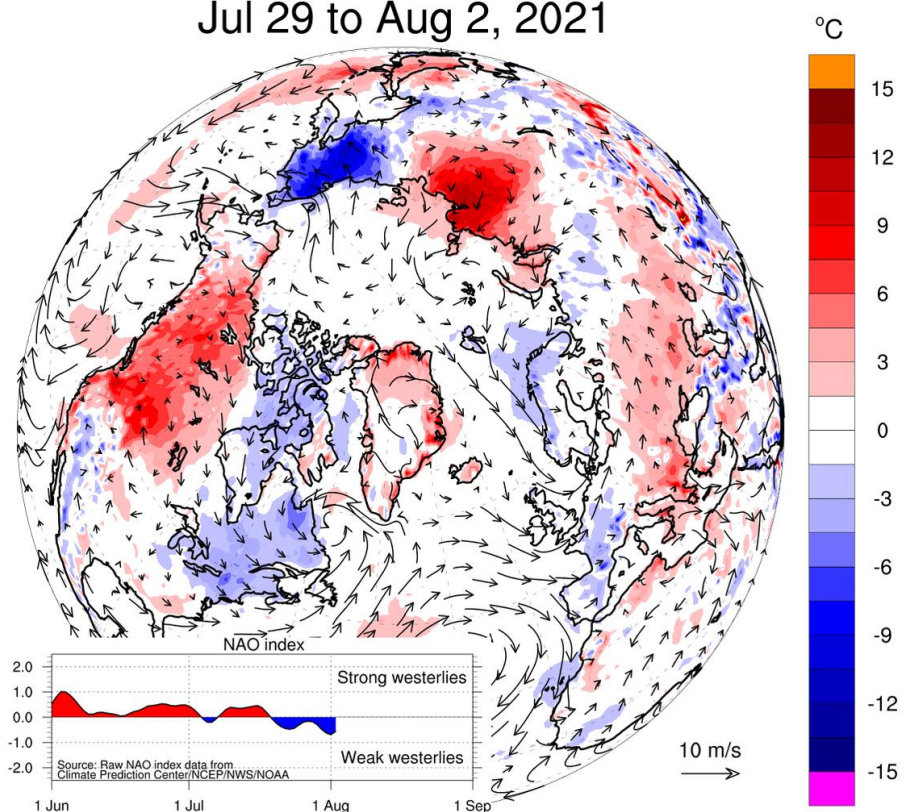
Jul 29 to Aug 2, 2022



ECMWF forecast: 2-m temperature and 10-m wind
T2m anomaly relative to ERA-Interim 2004-2013

polarportal.org

Jul 29 to Aug 2, 2021

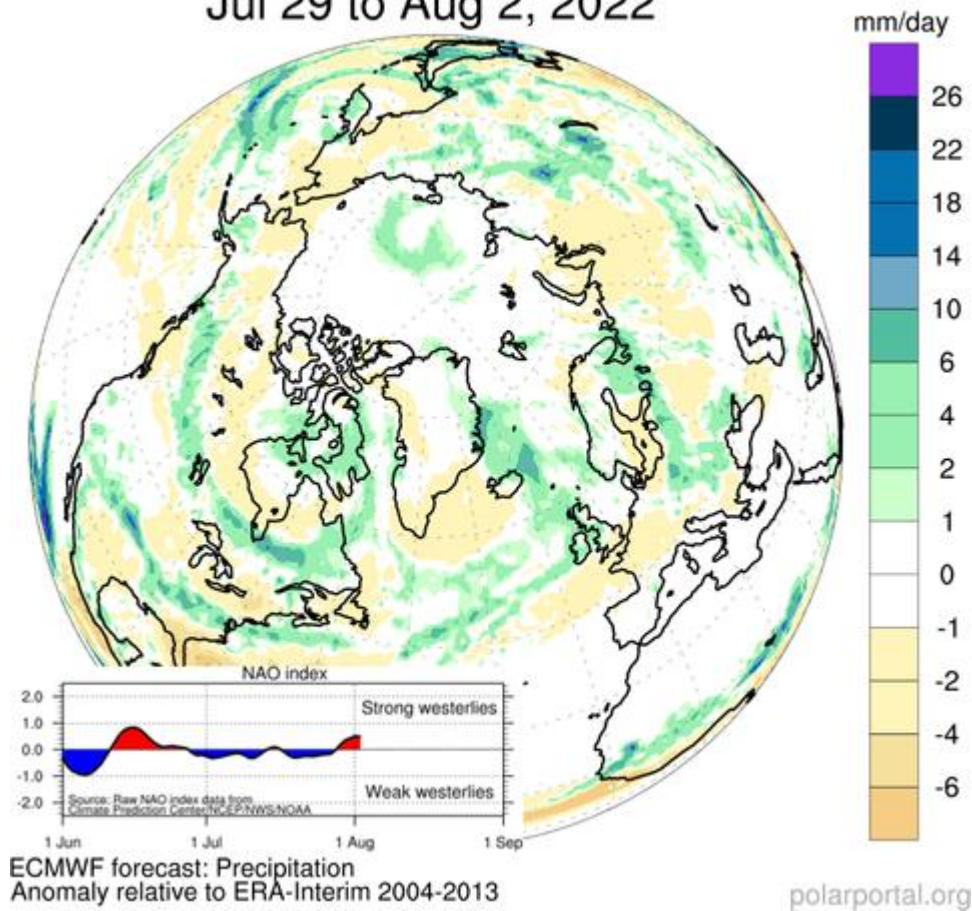


ECMWF forecast: 2-m temperature and 10-m wind
T2m anomaly relative to ERA-Interim 2004-2013

polarportal.org

Рисунок 2е – Аномалии приземной температуры воздуха (2м) и осредненные вектора скорости ветра (10 м) за 29.07 - 02.08 в 2021-2022 гг. относительно периода 2004-2013 гг. (<http://polarportal.dk>)

Jul 29 to Aug 2, 2022



Jul 29 to Aug 2, 2021

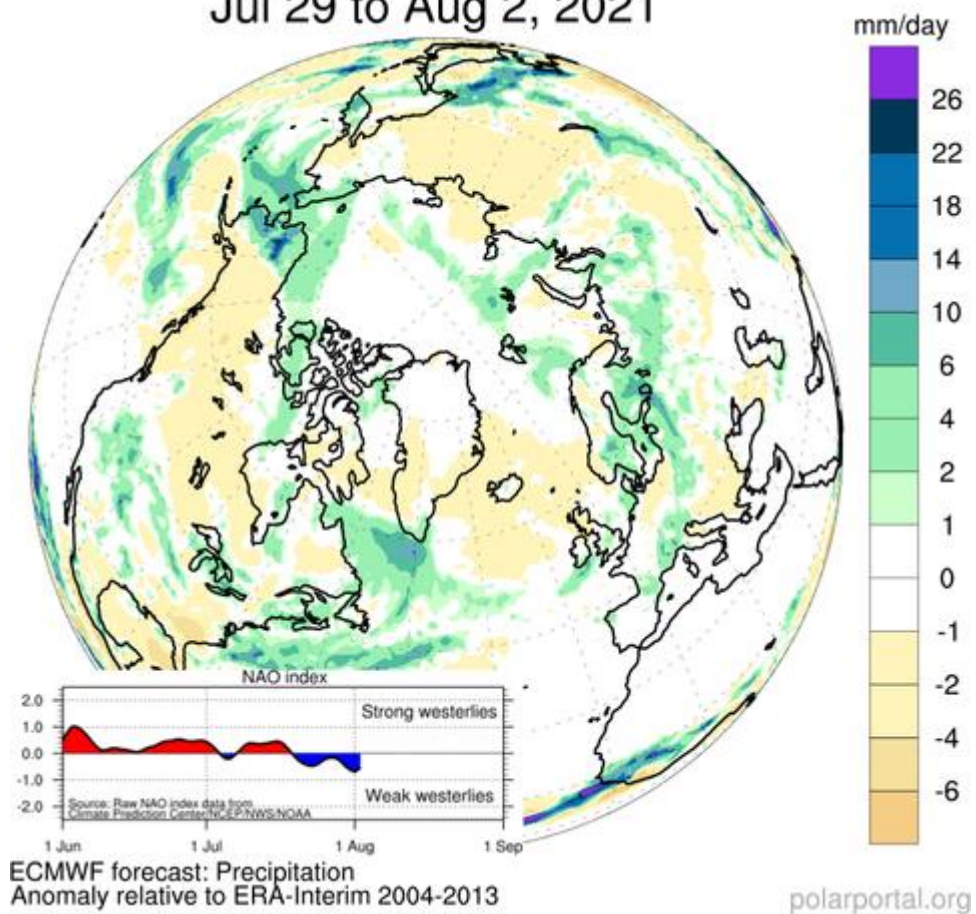


Рисунок 2ж – Аномалии приземной суммы осадков за 29.07 - 02.08 в 2021-2022 гг. относительно периода 2004-2013 гг. (<http://polarportal.dk>)

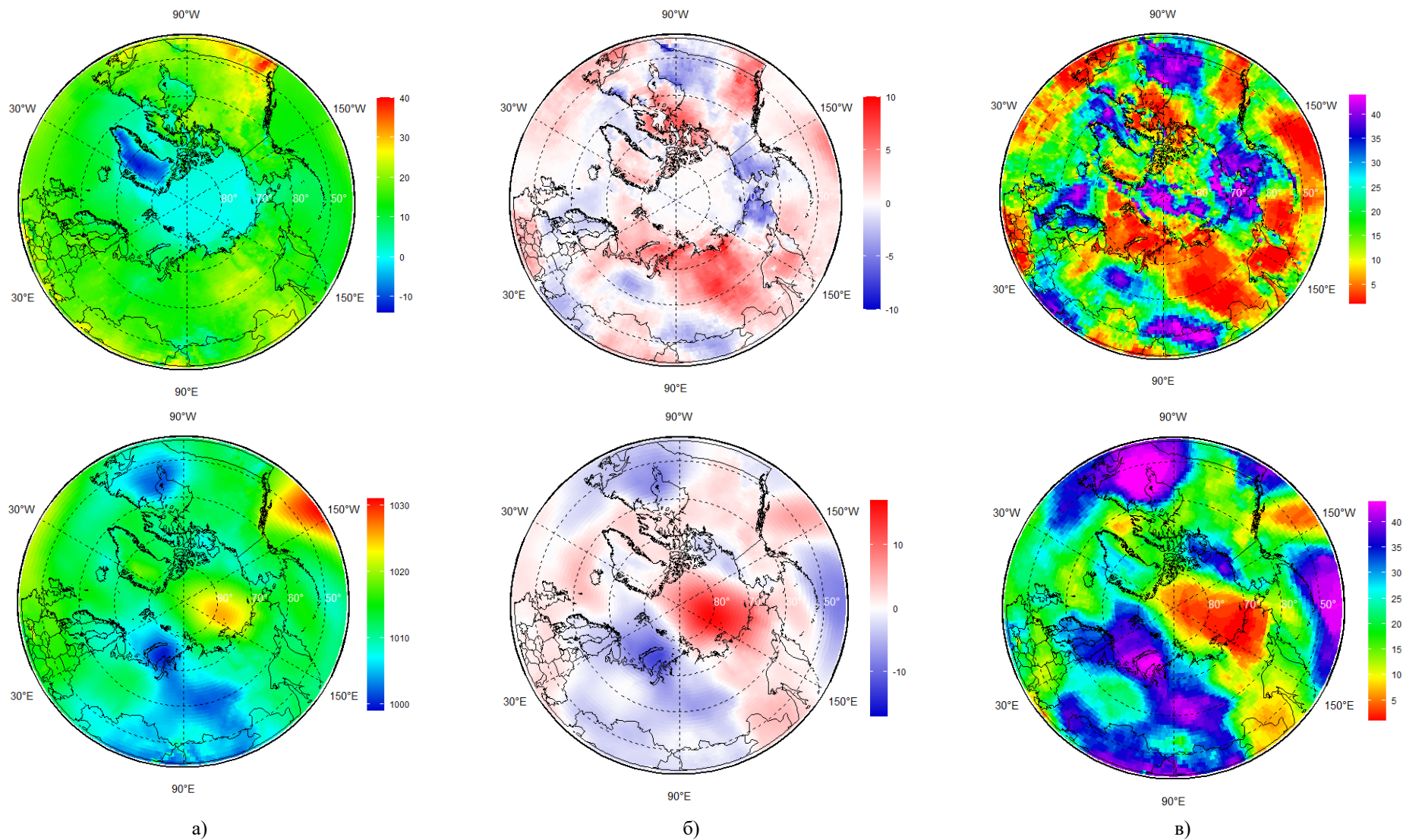


Рисунок 3а – Реанализ ERA5 температуры воздуха на уровне 2м (С°) и атмосферного давления на уровне моря (гПа) за период 22.07 –28.07.2022 г.: (а) – осредненные значения, (б) – аномалия относительно периода 1991-2020 гг. и (в) – ранг за период 1979-2022 гг.

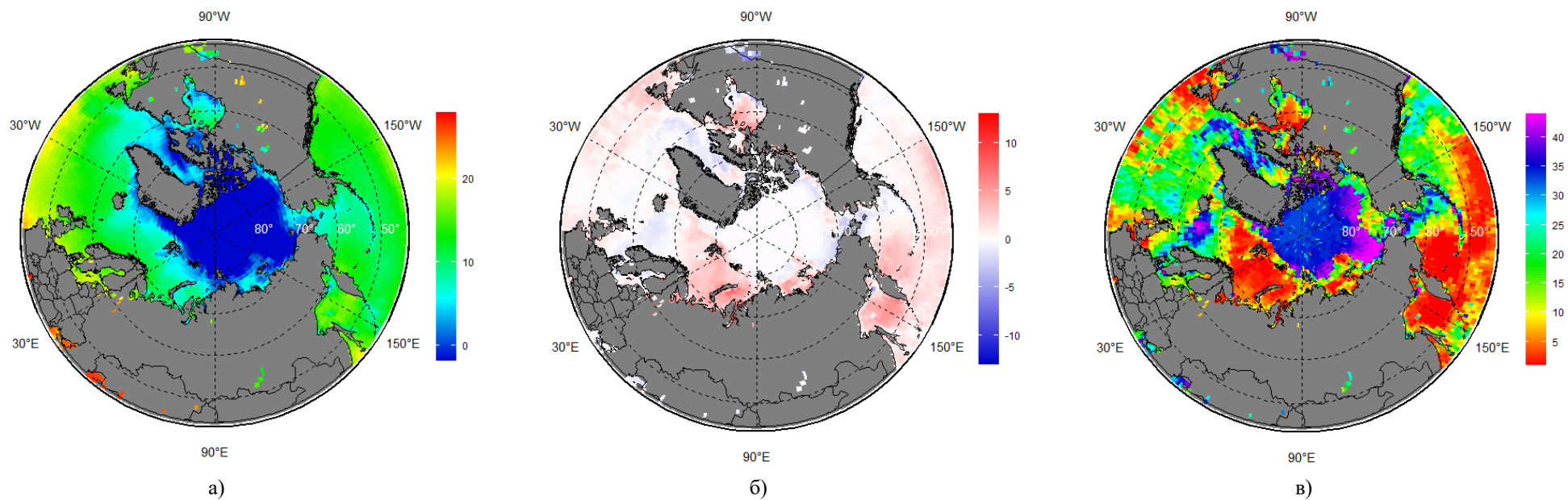


Рисунок 36 – Реанализ ERA5 температуры поверхности воды ($^{\circ}\text{C}$) за период 22.07 – 28.07.2022 г.: (а) – осредненные значения, (б) – аномалия относительно периода 1991-2020 гг. и (в) – ранг за период 1979-2022 гг.

Таблица 1 – Динамика изменения значений ледовитости по сравнению с предыдущей неделей для морей Северной полярной области 25.07 – 31.07.2022 г. по данным наблюдений SSMR-SSM/I-SMIS

Регион	Северная полярная область	Сектор 45°W-95°E (Гренландское - Карское моря)	Сектор 95°E-170°W (моря Лаптевых - Чукотское, Берингово, Охотское)	Сектор 170°W-45°W (море Бофорта и Канадская Арктика)	Северный Ледовитый океан	Моря СМП (моря Карское-Чукотское)
Разность	-662.8	-118.9	-291.3	-252.6	-630.5	-355.1
тыс.кв.км/сут.	-94.7	-17.0	-41.6	-36.1	-90.1	-50.7

Таблица 2 - Медианные значения ледовитости для Северной полярной области, 3-х меридиональных секторов и моря СМП за текущие 30 и 7-дневные интервалы, и её аномалии от 2016-2020 гг. и интервалов 2011-2021 гг. и 1978-2021 гг. по данным наблюдений SSMR-SSM/I-SSMIS, алгоритмы NASATEAM

Северная полярная область

Месяц	S, тыс. км2	Аномалии, тыс км2/%						
		2017 г	2018 г	2019 г	2020 г	2021 г	2012-2022гг	1978-2022гг
01-31.07	8397.4	479.3	157.1	789.9	869.5	555.5	372.4	-741.0
		6.1	1.9	10.4	11.6	7.1	4.6	-8.1
25-31.07	7275.8	359.5	355.3	854.8	958.0	321.7	333.1	-822.0
		5.2	5.1	13.3	15.2	4.6	4.8	-10.2

Сектор 45°W-95°E (Гренландское - Карское моря)

Месяц	S, тыс. км2	Аномалии, тыс км2/%						
		2017 г	2018 г	2019 г	2020 г	2021 г	2012-2022гг	1978-2022гг
01-31.07	1595.3	-259.0	61.7	-194.4	-36.6	-103.3	-99.1	-593.2
		-14.0	4.0	-10.9	-2.2	-6.1	-5.8	-27.1
25-31.07	1336.0	-172.7	159.8	-197.6	-42.2	-124.9	-95.2	-550.2
		-11.4	13.6	-12.9	-3.1	-8.5	-6.7	-29.2

Сектор 95°E-170°W (моря Лаптевых - Чукотское, Берингово, Охотское)

Месяц	S, тыс. км2	Аномалии, тыс км2/%						
		2017 г	2018 г	2019 г	2020 г	2021 г	2012-2022гг	1978-2022гг
01-31.07	2772.9	171.7	54.7	301.6	717.4	468.2	153.3	-160.5
		6.6	2.0	12.2	34.9	20.3	5.9	-5.5
25-31.07	2391.4	145.7	5.0	286.0	791.7	408.2	145.9	-275.6
		6.5	0.2	13.6	49.5	20.6	6.5	-10.3

Сектор 170°W-45°W (море Бофорта и Канадская Арктика)

Месяц	S, тыс. км2	Аномалии, тыс км2/%						
		2017 г	2018 г	2019 г	2020 г	2021 г	2012-2022гг	1978-2022гг
01-31.07	4029.3	566.6	40.7	682.6	188.7	190.5	318.3	12.8
		16.4	1.0	20.4	4.9	5.0	8.6	0.3
25-31.07	3548.4	386.5	190.4	766.4	208.5	38.3	282.4	3.7
		12.2	5.7	27.5	6.2	1.1	8.6	0.1

Северный Ледовитый океан

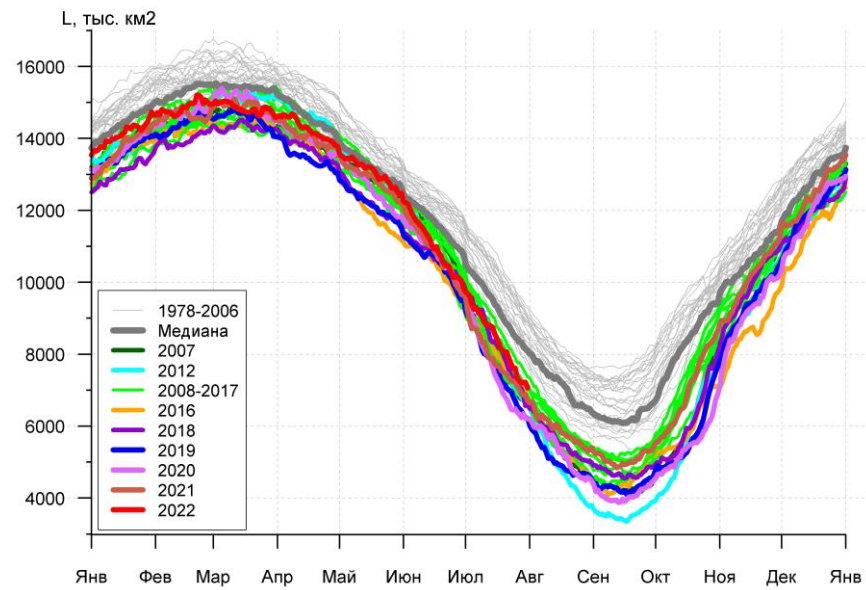
Месяц	S, тыс. км2	Аномалии, тыс км2/%						
		2017 г	2018 г	2019 г	2020 г	2021 г	2012-2022гг	1978-2022гг
01-31.07	7919.1	347.0	-45.0	497.3	794.0	434.2	203.7	-902.3
		4.6	-0.6	6.7	11.1	5.8	2.6	-10.2
25-31.07	6898.9	224.7	167.9	603.5	896.9	249.7	183.8	-986.0
		3.4	2.5	9.6	14.9	3.8	2.7	-12.5

Моря СМП (моря Карское-Чукотское)

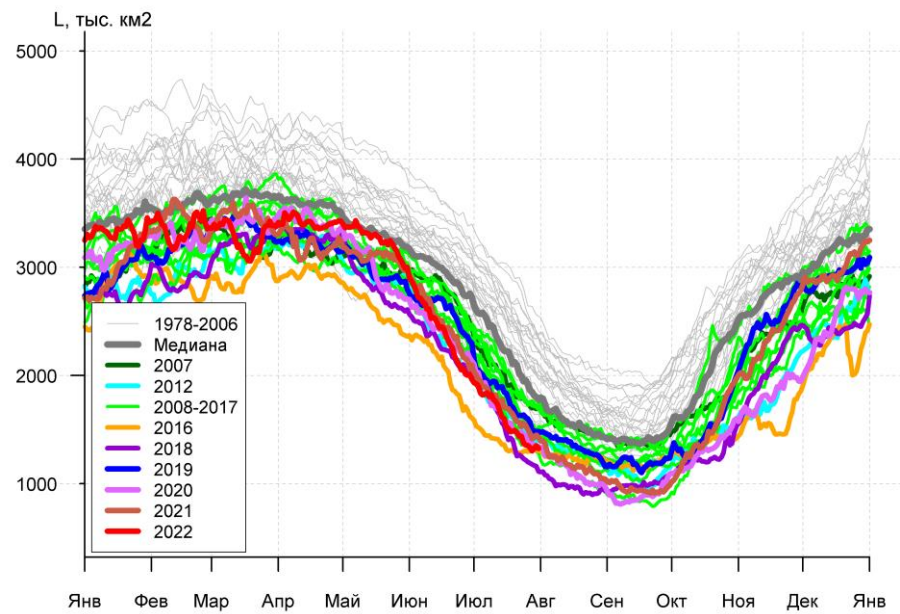
Месяц	S, тыс. км2	Аномалии, тыс км2/%						
		2017 г	2018 г	2019 г	2020 г	2021 г	2012-2022гг	1978-2022гг
01-31.07	1639.1	152.7	-19.7	351.8	765.7	331.3	120.8	-465.2
		10.3	-1.2	27.3	87.7	25.3	8.0	-22.1
25-31.07	1116.4	158.0	50.2	312.2	731.5	225.7	104.4	-572.9
		16.5	4.7	38.8	190.0	25.3	10.3	-33.9

Таблица 3 – Экстремальные и средние значения ледовитости для Северной полярной области, 3 меридиональных секторов и моря СМП за текущий 7-дневный интервал по данным наблюдений SSMR-SSM/I-SSMIS, алгоритмы NASATEAM.

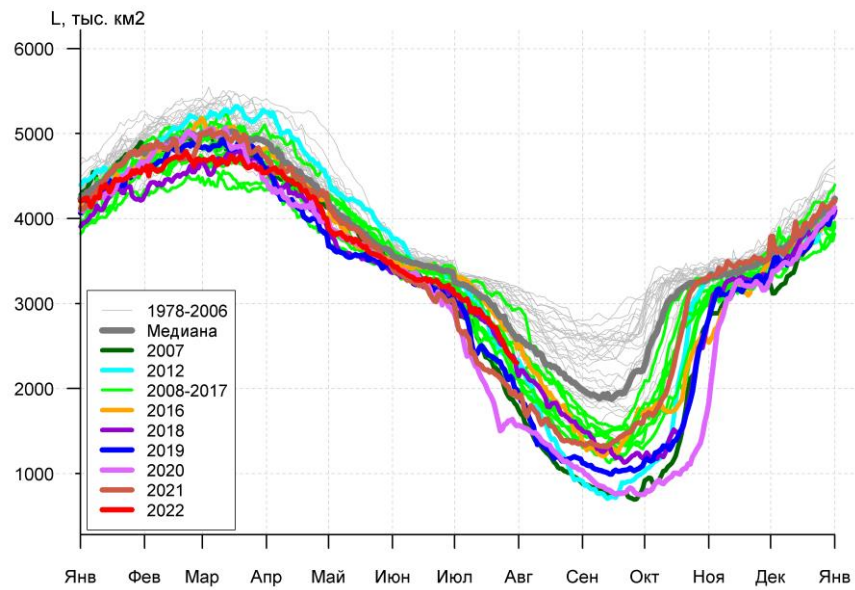
Северная полярная область				
Месяц	Минимальное знач.	Максимальное знач.	Среднее знач.	Медиана
25-31.07	6208.6 31.07.2020	9807.9 25.07.1983	8097.9	8255.0
Сектор 45°W-95°E (Гренландское - Карское моря)				
Месяц	Минимальное знач.	Максимальное знач.	Среднее знач.	Медиана
25-31.07	1112.6 31.07.2018	2725.0 25.07.1981	1886.2	1806.7
Сектор 95°E-170°W (моря Лаптевых - Чукотское, Берингово, Охотское)				
Месяц	Минимальное знач.	Максимальное знач.	Среднее знач.	Медиана
25-31.07	1564.0 31.07.2020	3254.9 25.07.1979	2667.0	2693.3
Сектор 170°W-45°W (море Бофорта и Канадская Арктика)				
Месяц	Минимальное знач.	Максимальное знач.	Среднее знач.	Медиана
25-31.07	2734.3 29.07.2019	4505.2 25.07.1992	3544.6	3575.7
Северный Ледовитый океан				
Месяц	Минимальное знач.	Максимальное знач.	Среднее знач.	Медиана
25-31.07	5909.4 31.07.2020	9438.6 25.07.1983	7884.9	8092.9
Моря СМП (моря Карское-Чукотское)				
Месяц	Минимальное знач.	Максимальное знач.	Среднее знач.	Медиана
25-31.07	337.9 31.07.2020	2615.8 25.07.1987	1689.3	1768.4



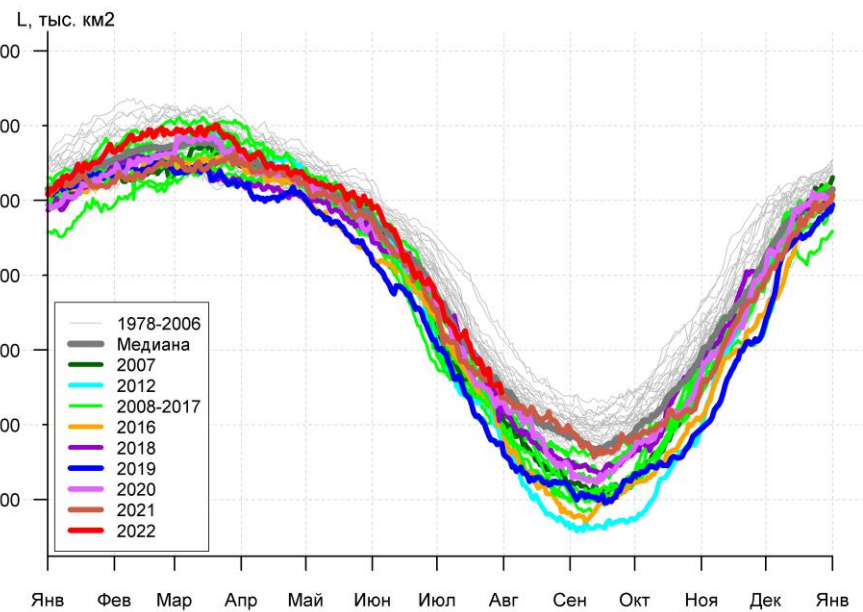
а)



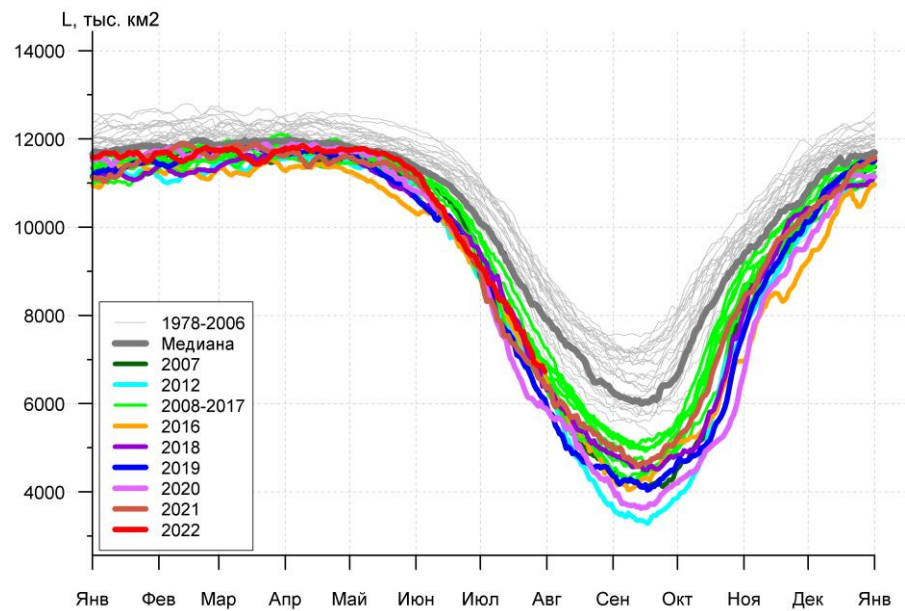
б)



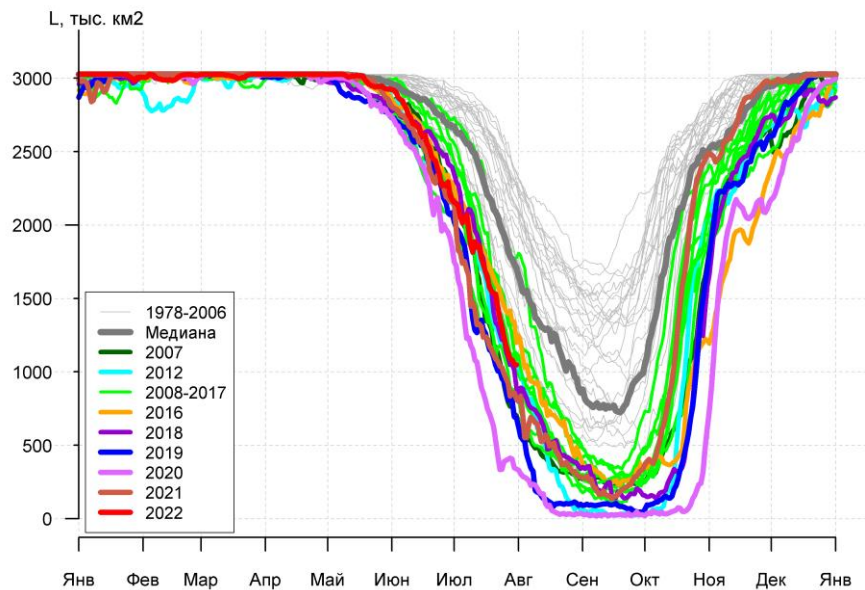
в)



г)



д)



е)

Рисунок 3а – Ежедневные оценки сезонного хода ледовитости для Северной Полярной Области и трех меридиональных секторов за период 26.10.1978 - 31.07.2022 по годам на основе расчетов по данным SSMR-SSM/I-SSMIS, алгоритмы NASATEAM: а) Северная полярная область, б) сектор 45°W-95°E (Гренландское – Карское моря), в) сектор 95°E-170°W (моря Лаптевых – Чукотское и Берингово, Охотское), г) сектор 170°W-45°W (море Бофорта и Канадская Арктика), д) Северный Ледовитый океан, е) Северный морской путь (Карское - Чукотское моря).

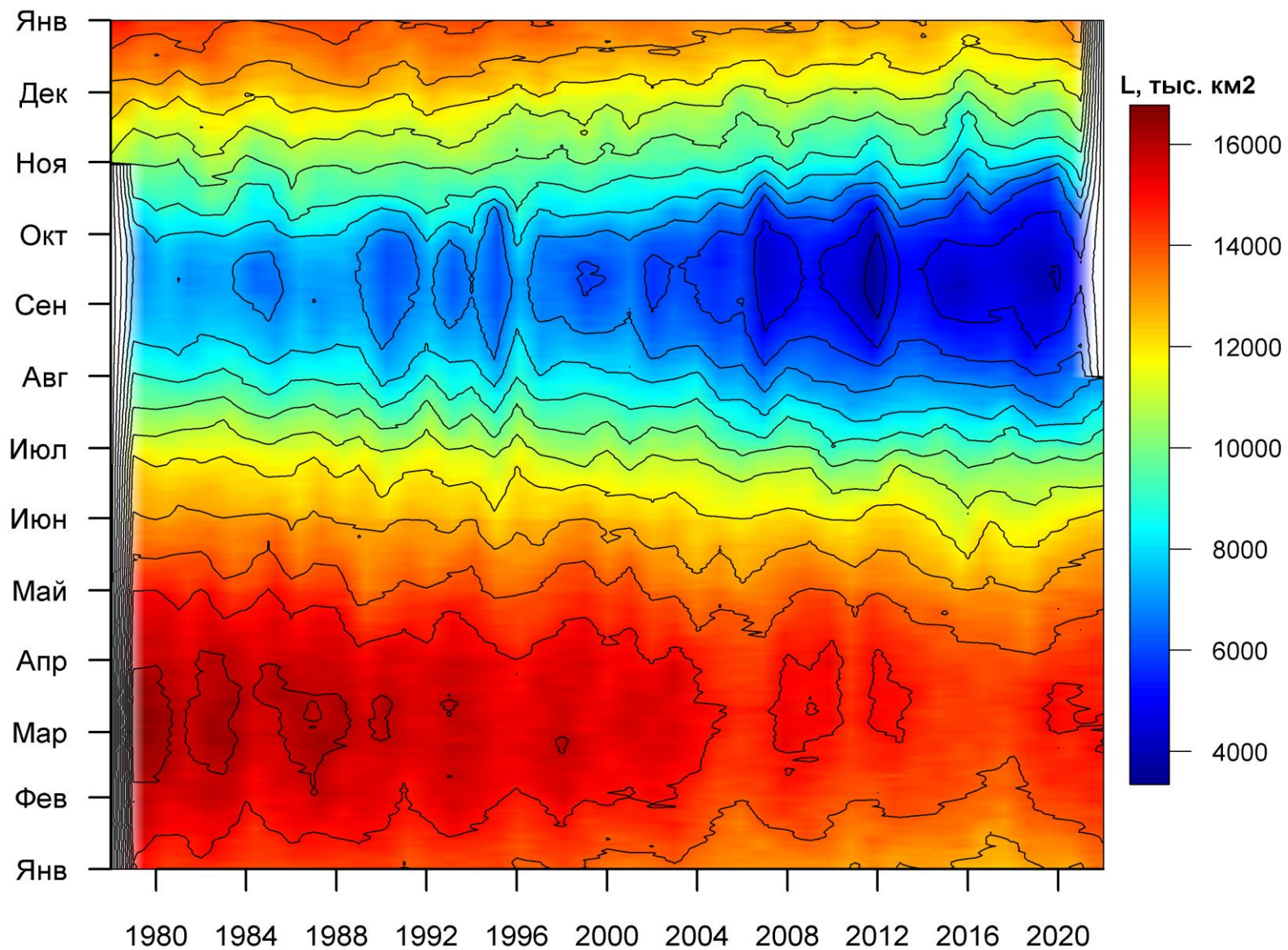


Рисунок 36 – Ежедневные оценки сезонных изменений ледовитости для Северной Полярной Области за период 26.10.1978 – 31.07.2022 на основе расчетов по данным SSMR-SSM/I-SSMIS, алгоритм NASATEAM.

Южный океан

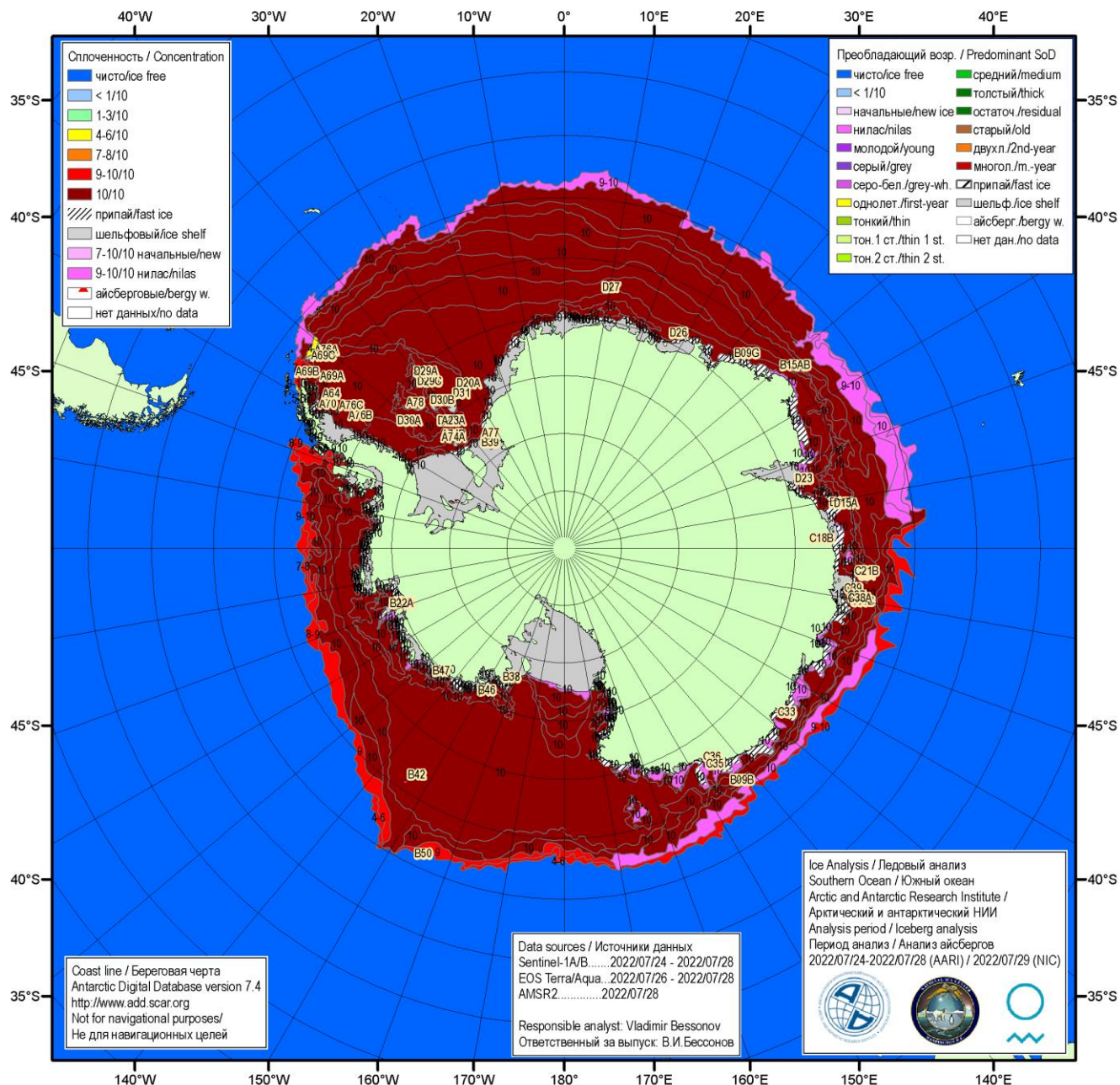


Рисунок 5а – Ледовая карта Южного океана (цветовая окраска по общей сплоченности) и расположение крупных айсбергов на основе ледового анализа за 28.07.2022 в рамках проекта совместного ледового картирования Южного океана ААНИИ, НЛЦ США и НМИ.

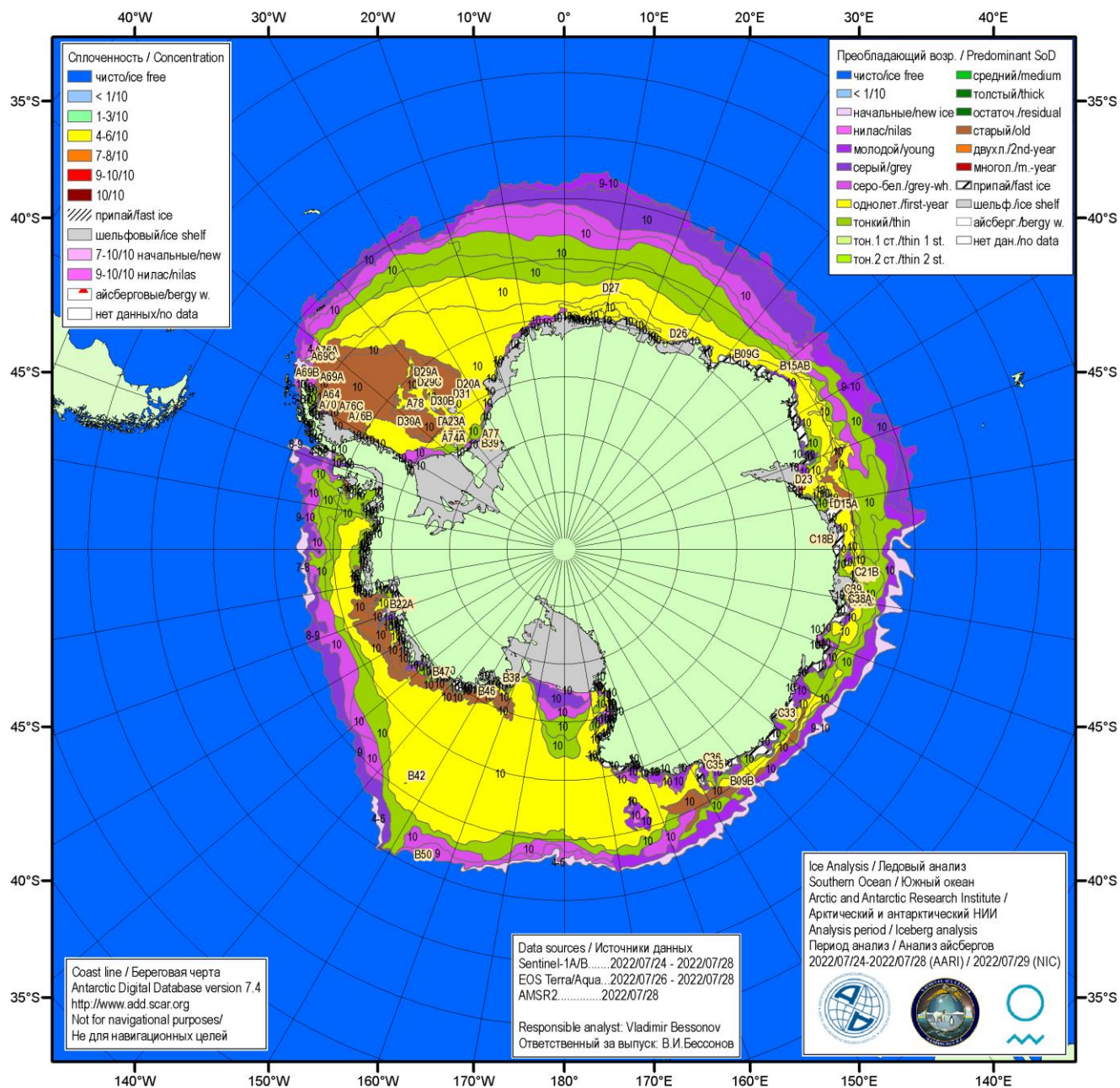


Рисунок 5в – Ледовая карта Южного океана (цветовая окраска по возрасту) и расположение крупных айсбергов на основе ледового анализа за 28.07.2022 в рамках проекта совместного ледового картирования Южного океана ААНИИ, НЛЦ США и НМИ.

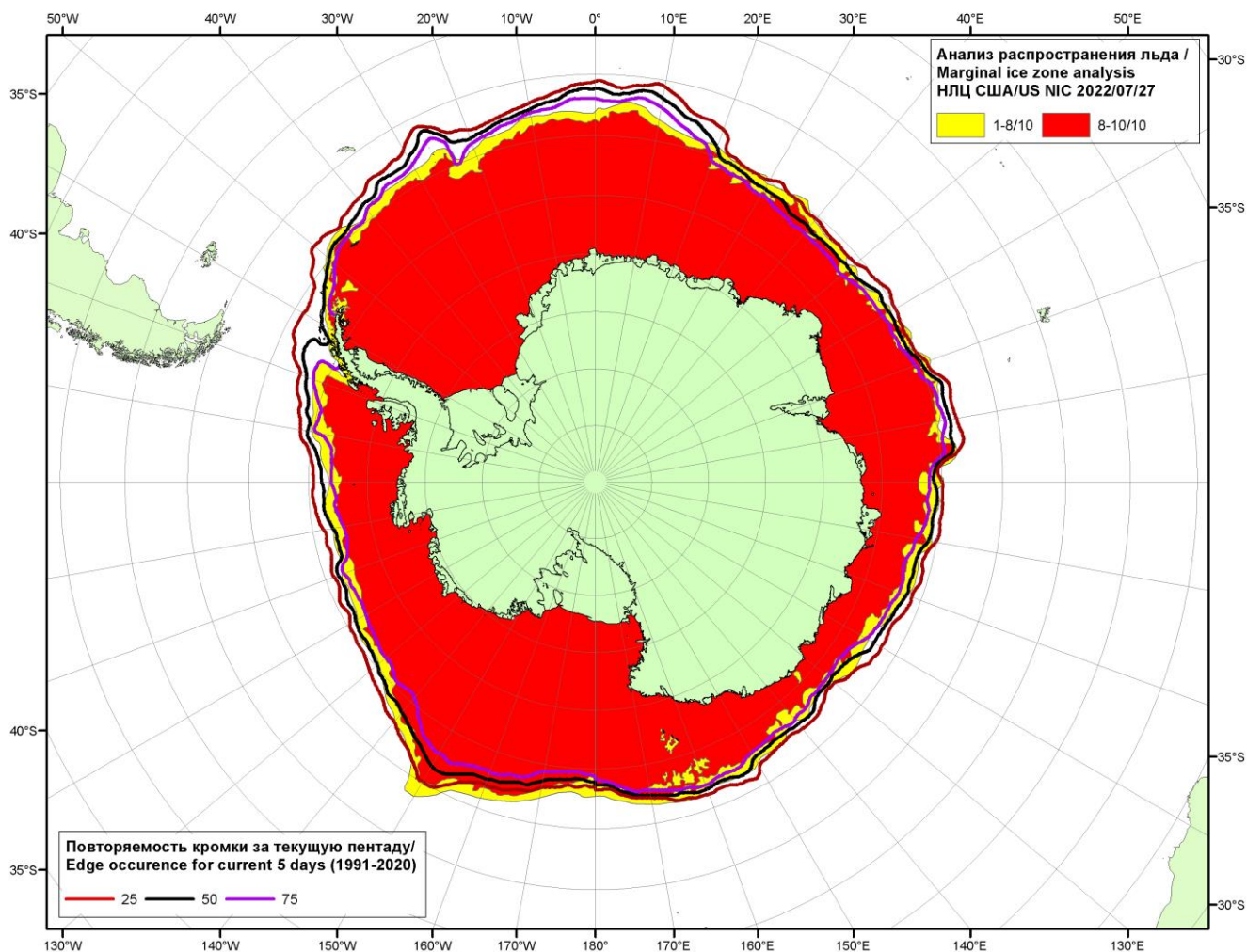


Рисунок 5в – Положение кромки льда и зон разреженных ($<8/10$) и сплоченных ($\geq 8/10$) льдов Южного океана за 02.08.2022 г. на основе ледового анализа Национального Ледового Центра США и повторяемость кромки за 01-05.08 за период 1991-2020 гг. по наблюдениям SSMR-SSM/I-SSMIS (алгоритм NASATEAM).

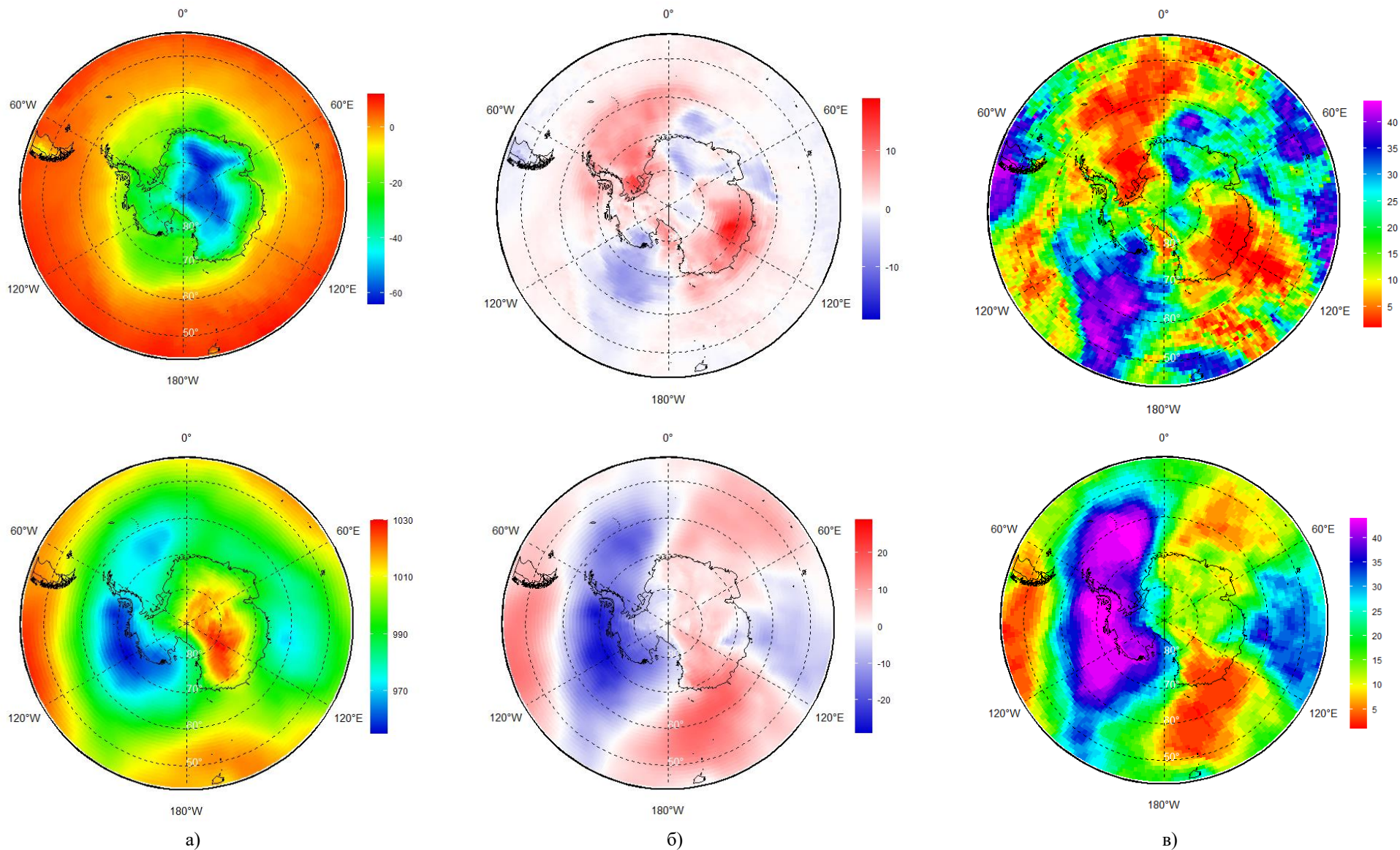


Рисунок ба – Реанализ ERA5 температуры воздуха на уровне 2м (С°) и атмосферного давления на уровне моря (гПа) за период 22.07 –28.07.2022 г.: (а) -средненные значения, (б) – аномалия относительно периода 1991-2020 гг. и (в) – ранг за период 1979-2022 гг.

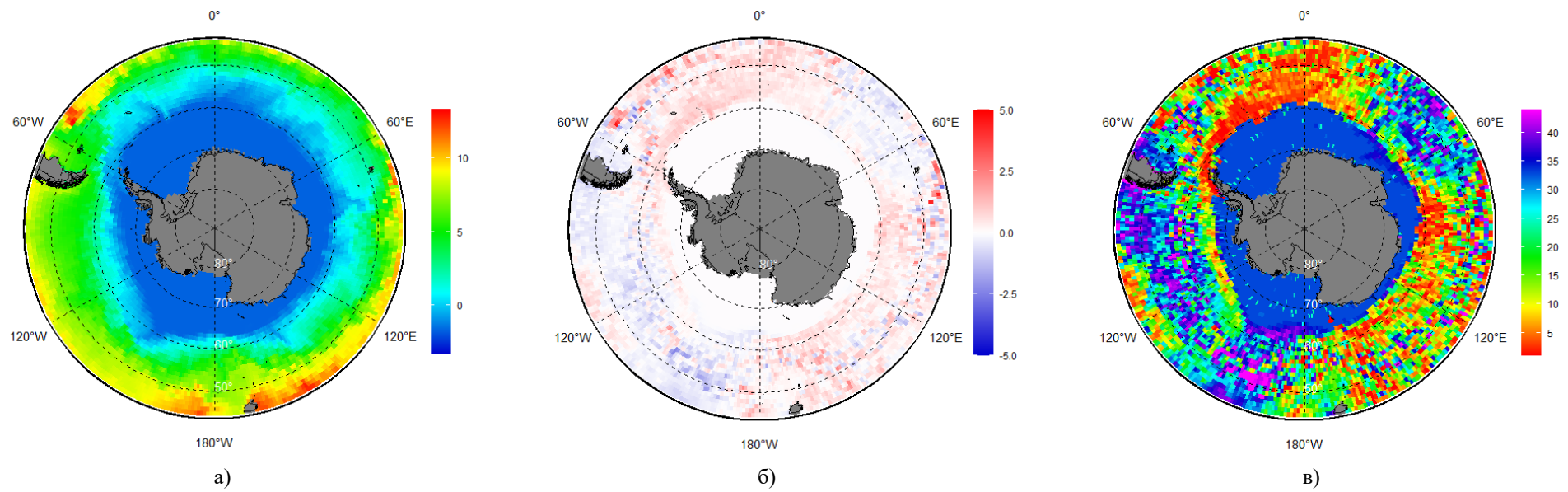
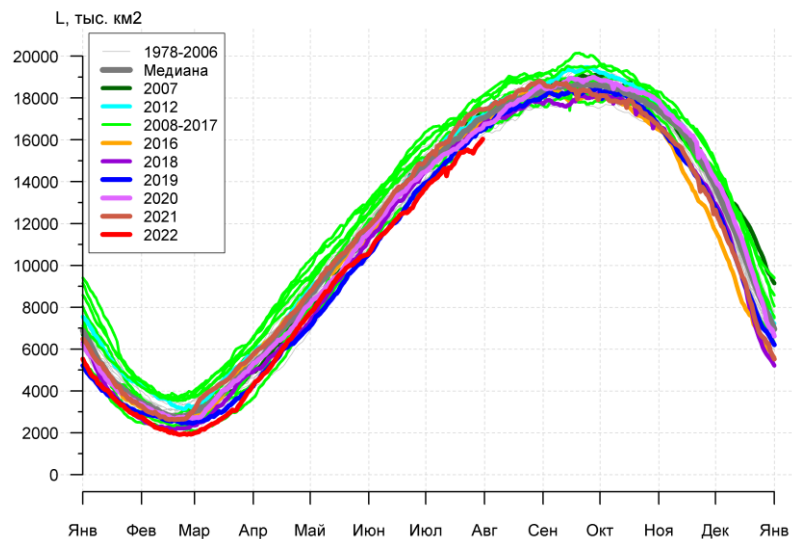


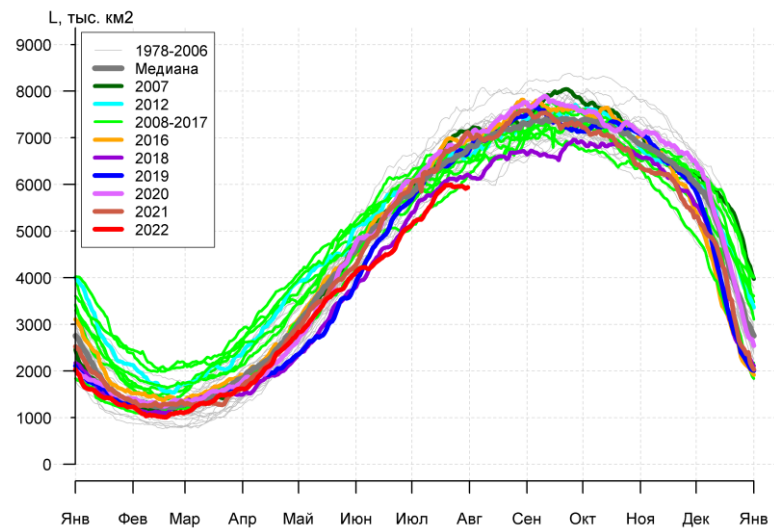
Рисунок 66 – Реанализ ERA5 температуры поверхности воды (C°) за период 22.07 –28.07.2022 г.: (а) – осредненные значения, (б) – аномалия относительно периода 1991-2020 гг. и (в) – ранг за период 1979-2022 гг.

Таблица 4 – Линейные размеры крупных айсбергов Южного океана на основе анализа ААНИИ за 25.02.2021 / Table 4 – Southern Ocean tabular icebergs linear dimensions based on AARI analysis for 2021-02-25

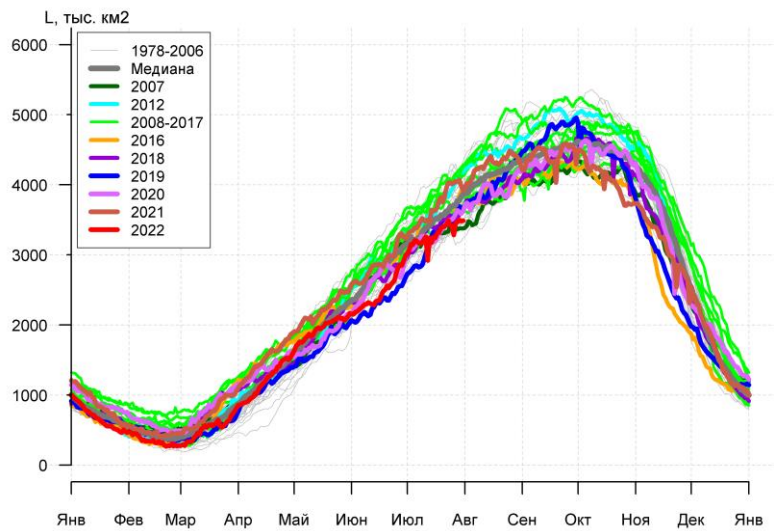
Имя/ Name	Длина/ Length км/km	Ширина/ Width км/km	Площадь/ Area кв.км/sq.km	Имя/ Name	Длина/ Length км/km	Ширина/ Width км/km	Площадь/ Area кв.км/sq.km
A23A	74	63	3996	C36	41	28	147
D15A	94	44	3587	D27	15	9	147
B22A	70	44	3192	A63	20	6	144
D28	54	35	1743	A68K	19	4	142
D15B	61	22	1185	B45	13	11	141
A68A	67	24	894	B42	22	7	138
B09B	44	15	603	A68I	35	6	122
D20A	35	17	455	B46	19	7	111
A64	24	17	346	B15AB	20	7	109
C15	22	15	341	B29	20	9	108
A68E	48	13	334	B39	15	7	105
C21B	20	15	317	A68P	48	11	99
A68M	54	19	287	A68N	48	11	97
A69A	19	17	264	C30	17	6	93
C18B	35	7	243	C33	15	7	88
B50	28	11	232	B38	11	7	87
B09I	22	11	211	C24	20	4	85
B09G	20	13	200	C31	17	6	84
B28	17	11	196	C29	9	9	83
B47	22	9	182	B37	15	6	82
A73	17	9	181	A71	15	6	72
A72	20	7	172	B40	11	9	71
A69B	19	13	169	A68G	48	11	64
D23	15	11	164	B49	19	9	60
A70	15	9	159	A68J	24	4	56
D26	35	4	149	A68O	48	11	55
D21B	19	7	147	A68H	20	9	31
C35	13	9	147	A68P	24	4	11



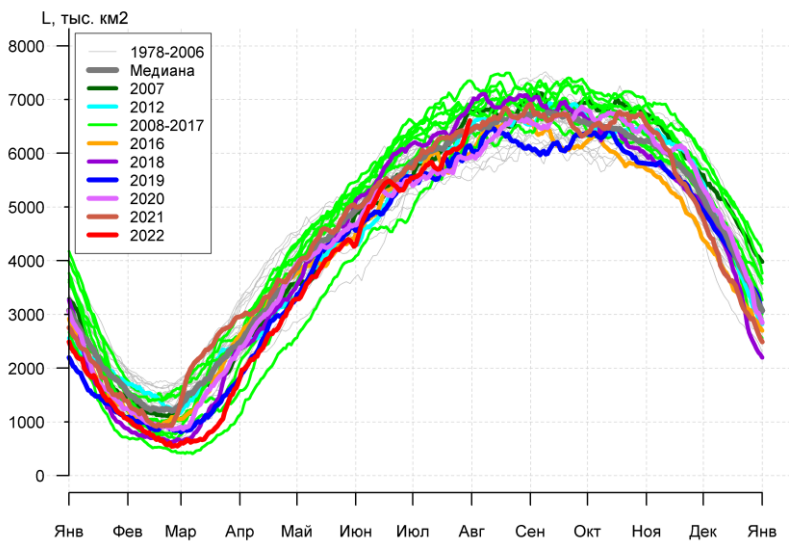
а)



б)



в)



г)

Рисунок 7а – Ежедневные оценки сезонного хода ледовитости Южного Океана и меридиональных секторов за период 26.10.1978 – 31.07.2022 по годам на основе расчетов по данным SSMR-SSM/I-SSMIS, алгоритм NASATEAM: а) Южный Океан, б) Атлантический сектор (60°W-30°E, море Уэдделла), в) Индоокеанский сектор (30°E-150°E, моря Космонавтов, Содружества, Моусона), г) Тихоокеанский сектор (150°E-60°W, моря Росса, Беллинсгаузена)

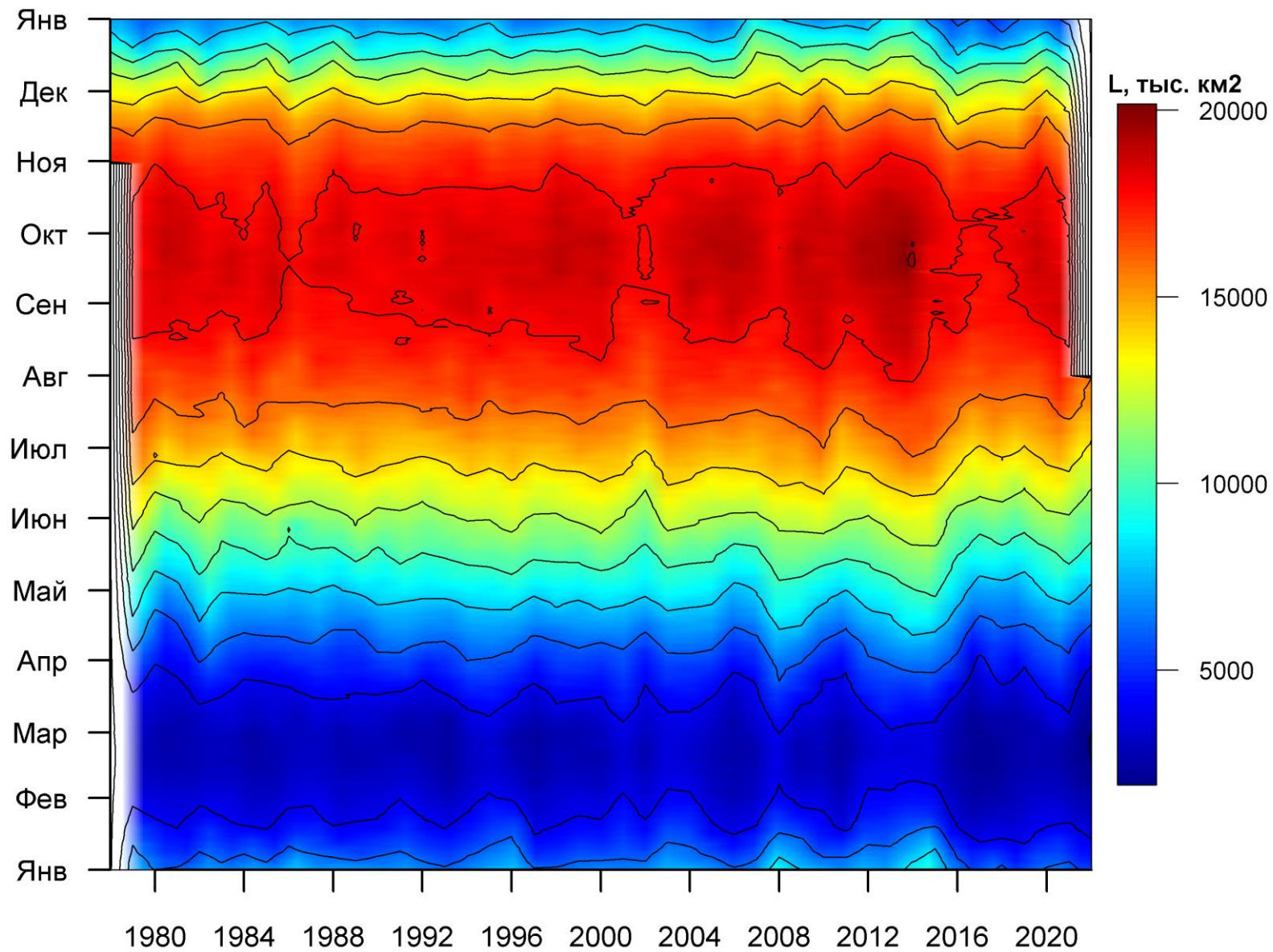


Рисунок 76 – Ежедневные оценки сезонных изменений ледовитости для Южного океана за период 26.10.1978 – 31.07.2022 на основе расчетов по данным SSMR-SSM/I-SSMIS, алгоритм NASATEAM.

Таблица 5 – Динамика изменения значений ледовитости по сравнению с предыдущей неделей для морей Южного океана за 25.07 – 31.07.2022г. по данным наблюдений SSMR-SSM/I-SSMIS

Регион	Южный Океан	Атлантический сектор	Индокоеанский сектор	Тихоокеанский сектор
Разность	281.5	-19.5	32.1	268.9
тыс.кв.км/сут.	40.2	-2.8	4.6	38.4

Таблица 6 - Медианные значения ледовитости для Южного океана и 3 меридиональных секторов за текущие 30 и 7-дневные интервалы и её аномалии от 2016-2020 гг. и интервалов 2011-2021 гг. и 1978-2021 гг. по данным наблюдений SSMR-SSM/I-SSMIS, алгоритм NASATEAM

Южный Океан

Месяц	S, тыс. км2	Аномалии, тыс км2/%						
		2017 г	2018 г	2019 г	2020 г	2021 г	2012-2022гг	1978-2022гг
01-31.07	14896.1	-357.4	-766.9	-387.2	-694.2	-1485.7	-1088.6	-1067.5
		-2.3	-4.9	-2.5	-4.5	-9.1	-6.8	-6.7
25-31.07	15690.8	-675.5	-759.5	-613.9	-739.1	-1682.4	-1157.8	-1139.1
		-4.1	-4.6	-3.8	-4.5	-9.7	-6.9	-6.8

Атлантический сектор (60°W-30°E, море Уэдделла)

Месяц	S, тыс. км2	Аномалии, тыс км2/%						
		2017 г	2018 г	2019 г	2020 г	2021 г	2012-2022гг	1978-2022гг
01-31.07	5693.6	-541.1	-206.5	-626.9	-905.8	-812.5	-619.4	-647.9
		-8.7	-3.5	-9.9	-13.7	-12.5	-9.8	-10.2
25-31.07	5947.8	-646.6	-207.8	-741.8	-981.4	-1014.5	-673.7	-739.5
		-9.8	-3.4	-11.1	-14.2	-14.6	-10.2	-11.1

Индокоеанский сектор (30°E-150°E, моря Космонавтов, Содружества, Моусона)

Месяц	S, тыс. км2	Аномалии, тыс км2/%						
		2017 г	2018 г	2019 г	2020 г	2021 г	2012-2022гг	1978-2022гг
01-31.07	3286.5	-94.3	-81.6	65.6	-25.4	-400.0	-222.5	-217.7
		-2.8	-2.4	2.0	-0.8	-10.9	-6.3	-6.2
25-31.07	3441.3	-261.1	-109.0	-167.4	-142.1	-574.7	-352.4	-347.0
		-7.1	-3.1	-4.6	-4.0	-14.3	-9.3	-9.2

Тихоокеанский сектор (150°E-60°W, моря Росса, Беллингаузена)

Месяц	S, тыс. км2	Аномалии, тыс км2/%						
		2017 г	2018 г	2019 г	2020 г	2021 г	2012-2022гг	1978-2022гг
01-31.07	5915.9	278.1	-478.8	174.1	236.9	-273.2	-246.7	-202.0
		4.9	-7.5	3.0	4.2	-4.4	-4.0	-3.3
25-31.07	6301.7	232.2	-442.7	295.2	384.3	-93.2	-131.7	-52.7
		3.8	-6.6	4.9	6.5	-1.5	-2.0	-0.8

Таблица 7 – Экстремальные значения ледовитости для Южного океана и 3 меридиональных секторов за текущий 7-дневный интервал по Южный Океан

Южный Океан

Месяц	Минимальное знач.	Максимальное знач.	Среднее знач.	Медиана
25-31.07	15368.3 26.07.2022	18102.2 31.07.2014	16829.9	16853.0

Атлантический сектор (60°W-30°E, море Уэдделла)

Месяц	Минимальное знач.	Максимальное знач.	Среднее знач.	Медиана
25-31.07	5892.7 25.07.2011	7666.4 25.07.1992	6687.3	6655.6

Индокоеанский сектор (30°E-150°E, моря Космонавтов, Содружества, Моусона)

Месяц	Минимальное знач.	Максимальное знач.	Среднее знач.	Медиана
25-31.07	3140.4 27.07.2002	4338.1 31.07.2006	3788.3	3765.5

Тихоокеанский сектор (150°E-60°W, моря Росса, Беллингаузена)

Месяц	Минимальное знач.	Максимальное знач.	Среднее знач.	Медиана
25-31.07	5485.9 30.07.1980	7353.0 31.07.2013	6354.3	6362.6

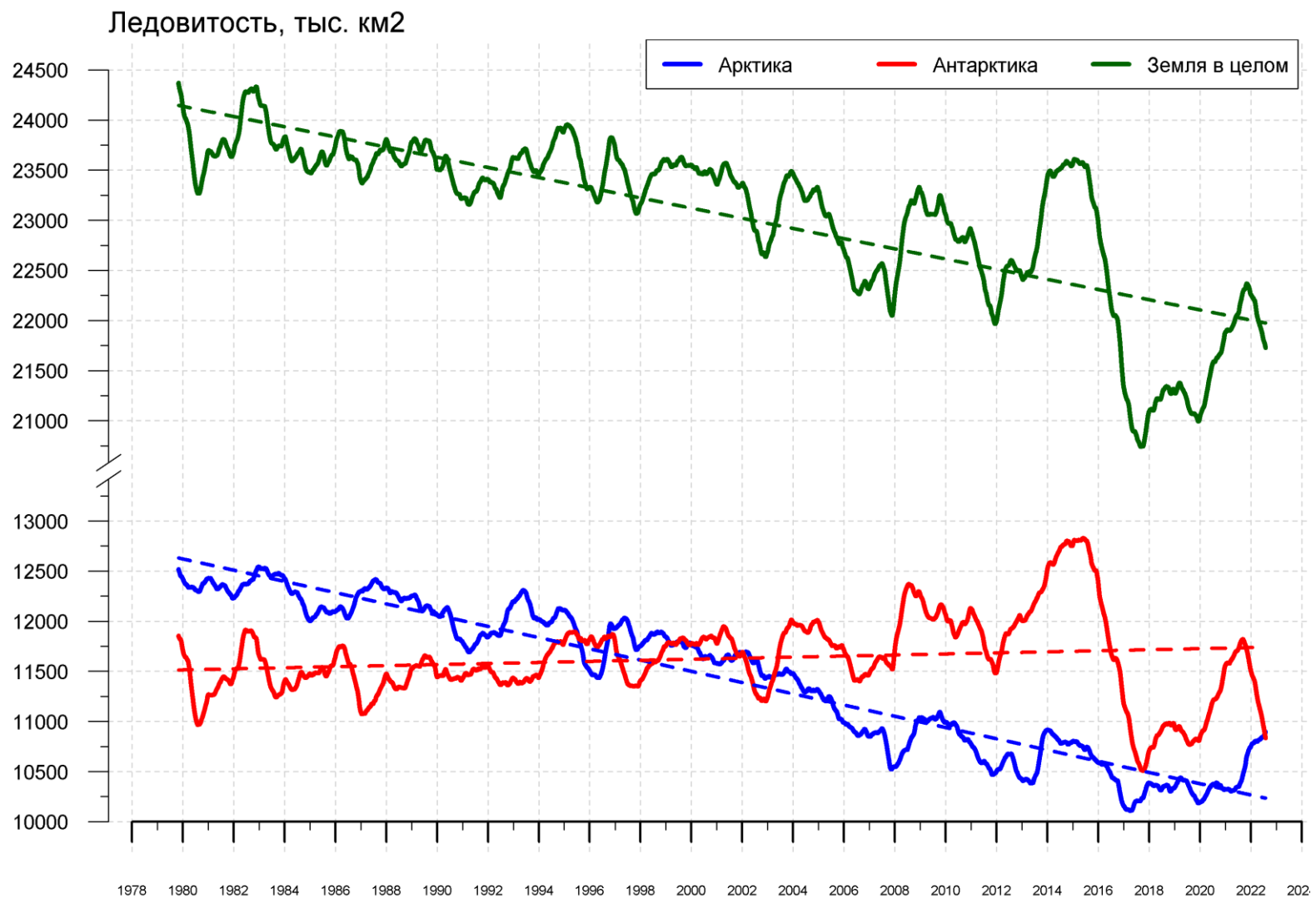


Рисунок 9 – Ежедневные сглаженные окном 365 суток значения ледовитости (площади распространения морского льда) Арктики, Антарктики и Земли в целом с 26.10.1978 по 31.07.2022 на основе SSMR-SSM/I-SSMIS

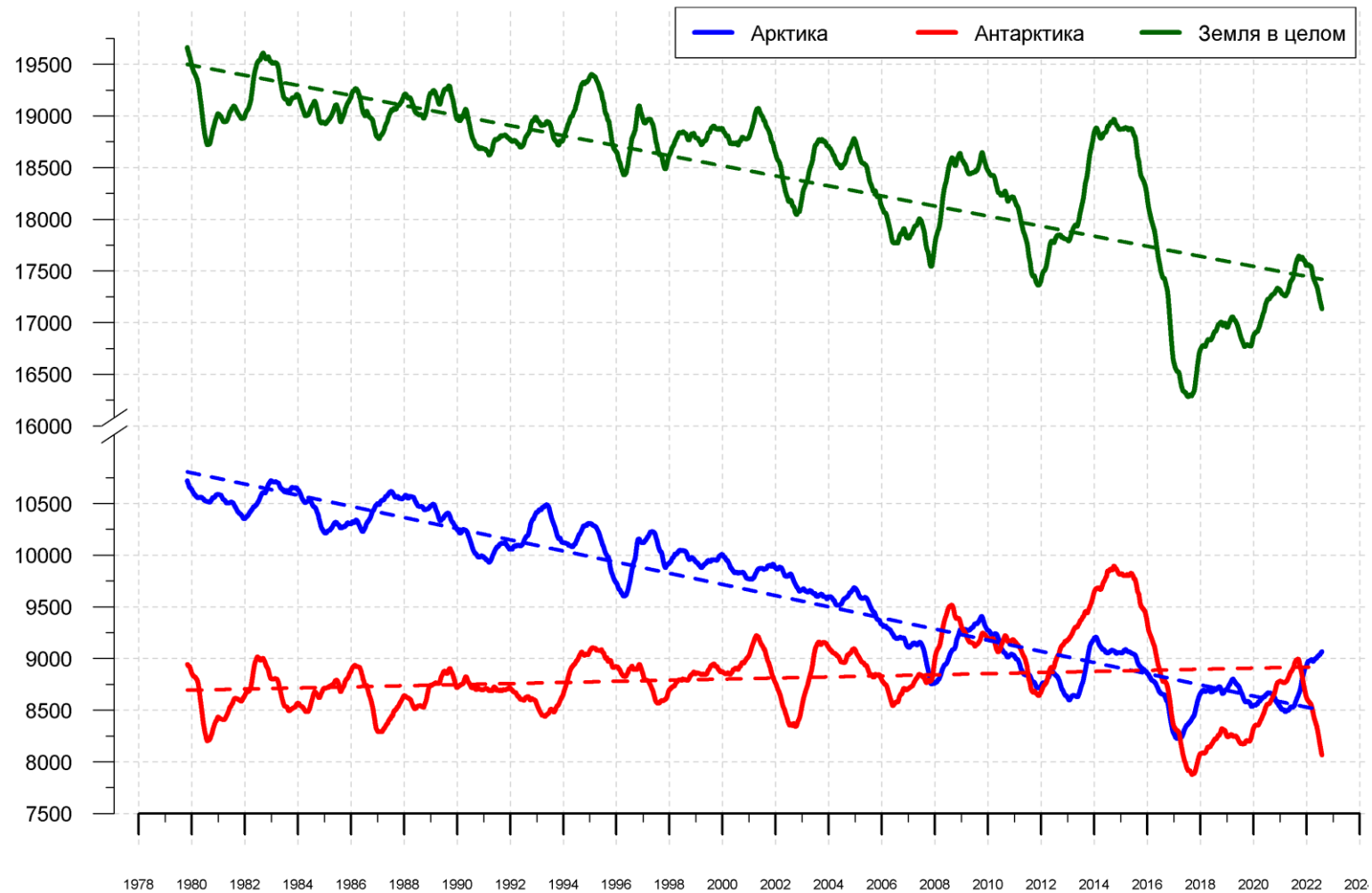


Рисунок 10 – Ежедневные сглаженные окном 365 суток значения приведенной ледовитости (площади морского льда) Арктики, Антарктики и Земли в целом с 26.10.1978 по 31.07.2022 на основе SSMR-SSM/I-SSMIS

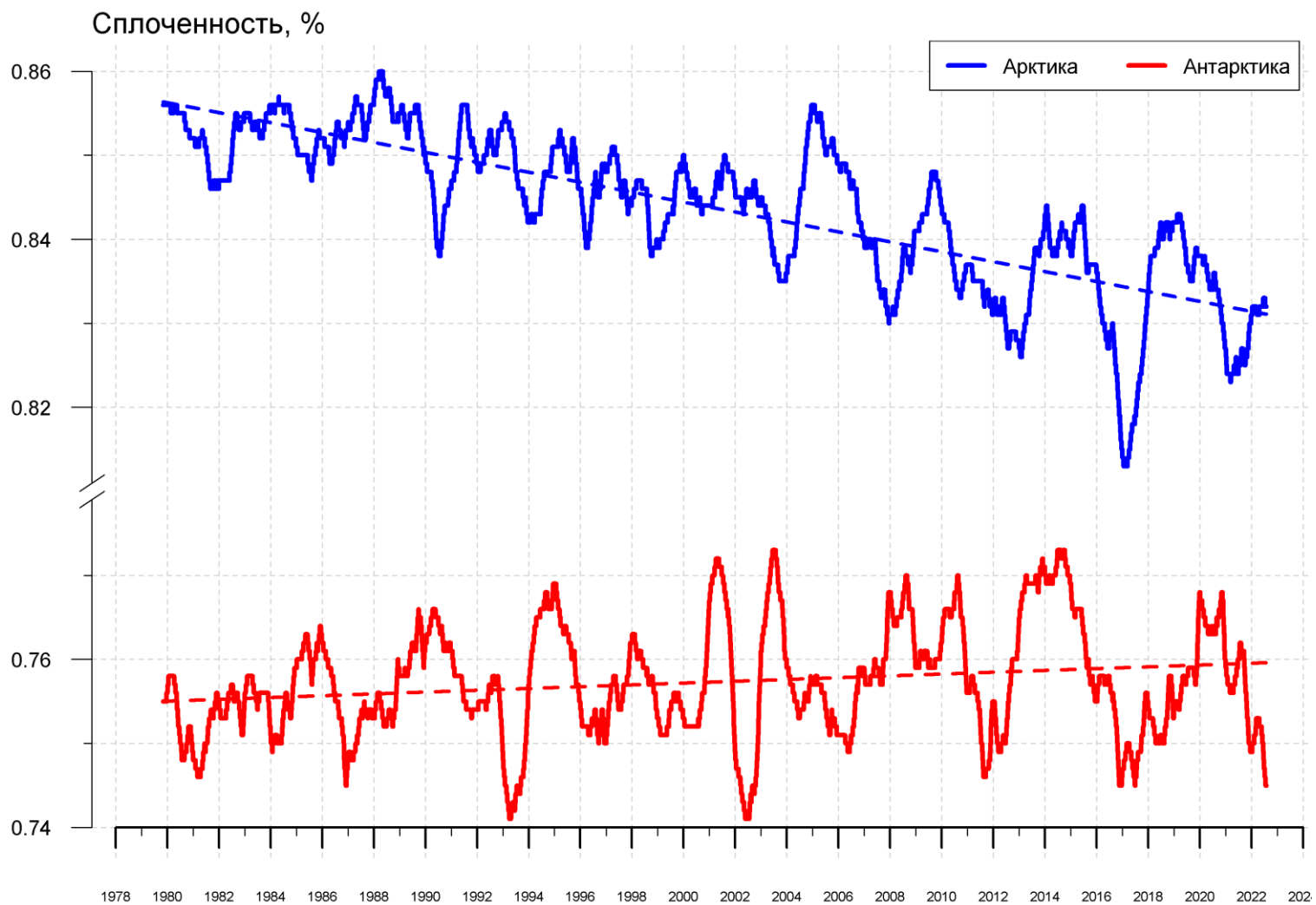


Рисунок 11 – Ежедневные сглаженные окном 365 суток значения средней общей сплоченности Арктики и Антарктики с 07.11.1978 по 31.07.2022 на основе SSMR-SSM/I-SSMIS

Приложение 1 – Статистические значения ледовитостей по отдельным акваториям Северной Полярной Области и Южного океана

Таблица 8 – Средние, аномалии среднего и экстремальные значения ледовитостей для Северной полярной области и её отдельных акваторий за текущие 7-дневный (неделя) и 30-дневный промежутки времени по данным наблюдений SSMR-SSM/I-SSMIS, алгоритм NASATEAM за период 1978-2020 гг.

25-31.07

Регион	S, тыс. км2	Аномалии, тыс км2/%							1978-2022гг			
		2007 г	2012 г	2016 г	2020 г	2021 г	2012-2022гг	1978-2022гг	Минимум дата	Максимум дата	Среднее	Медиана
Сев. полярная область	7275.8	479.2	454.4	213.8	958.0	321.7	333.1	-822.0	6208.6	9807.9	8097.9	8255.0
		7.1	6.7	3.0	15.2	4.6	4.8	-10.2	31.07.2020	25.07.1983		
Сектор 45°W-95°E	1336.0	-384.1	-97.8	27.7	-42.2	-124.9	-95.2	-550.2	1112.6	2725.0	1886.2	1806.7
		-22.3	-6.8	2.1	-3.1	-8.5	-6.7	-29.2	31.07.2018	25.07.1981		
Гренландское море	298.4	-131.7	-114.4	16.6	-81.1	101.0	-6.6	-100.3	155.8	620.0	398.7	402.1
		-30.6	-27.7	5.9	-21.4	51.1	-2.2	-25.2	31.07.2018	25.07.1992		
Баренцево море	20.2	-32.8	6.9	11.9	-4.1	-23.6	-20.2	-114.7	3.2	409.1	134.9	101.8
		-61.8	51.4	141.8	-16.8	-53.9	-50.0	-85.0	31.07.2016	25.07.1982		
Карское море	80.6	-197.1	37.2	-24.1	-4.4	-148.4	-53.2	-290.8	28.5	801.0	371.4	345.2
		-71.0	85.7	-23.0	-5.2	-64.8	-39.8	-78.3	29.07.2012	27.07.1999		
Сектор 95°E-170°W	2391.4	496.6	28.4	-248.8	791.7	408.2	145.9	-275.6	1564.0	3254.9	2667.0	2693.3
		26.2	1.2	-9.4	49.5	20.6	6.5	-10.3	31.07.2020	25.07.1979		
Море Лаптевых	206.5	-44.0	64.3	-365.2	179.9	174.6	-14.9	-192.2	17.5	667.9	398.7	414.0
		-17.6	45.2	-63.9	676.0	547.1	-6.7	-48.2	31.07.2021	25.07.1979		
Восточно-Сибирское море	645.4	429.0	69.5	166.2	513.2	247.3	147.7	-22.7	119.5	915.1	668.0	713.9
		198.3	12.1	34.7	388.3	62.1	29.7	-3.4	25.07.2020	25.07.1996		
Чукотское море	183.9	142.2	-132.6	-26.0	42.8	-47.9	24.8	-67.2	21.0	461.4	251.1	256.4
		341.2	-41.9	-12.4	30.3	-20.7	15.6	-26.8	31.07.2019	25.07.1983		
Берингово море	18.5	13.8	14.5	7.3	1.5	-3.7	7.4	11.6	0.0	31.1	6.9	6.0
		293.3	360.3	64.5	8.5	-16.8	66.6	167.3	25.07.2010	27.07.2021		
Сектор 170°W-45°W	3548.4	366.6	523.8	435.0	208.5	38.3	282.4	3.7	2734.3	4505.2	3544.6	3575.7
		11.5	17.3	14.0	6.2	1.1	8.6	0.1	29.07.2019	25.07.1992		
Море Бофорта	330.0	83.2	200.6	146.8	-22.9	-2.1	51.8	4.3	40.8	485.9	325.7	343.8
		33.7	155.0	80.2	-6.5	-0.6	18.6	1.3	31.07.2008	26.07.2000		
Гудзонов залив	51.2	32.1	15.1	15.1	14.4	18.5	10.1	-17.1	12.9	444.6	68.4	44.3
		167.3	41.9	41.9	39.1	56.3	24.5	-25.1	26.07.2007	25.07.1992		
Море Лабрадор	7.5	2.3	1.5	-2.8	-0.8	-2.3	-2.7	-0.2	0.0	50.1	7.8	6.7
		44.4	25.5	-27.3	-9.8	-23.7	-26.4	-3.1	27.07.1997	27.07.1991		
Дейвисов пролив	117.8	63.3	71.0	10.7	72.7	86.5	41.5	12.3	7.2	264.8	105.5	92.7
		116.1	151.4	9.9	161.1	276.4	54.5	11.7	29.07.2003	30.07.1983		
Канадский архипелаг	724.9	-49.2	24.7	31.4	66.9	-68.1	-3.6	-80.2	621.1	1058.6	805.1	792.1
		-6.4	3.5	4.5	10.2	-8.6	-0.5	-10.0	30.07.2020	25.07.1983		

01-31.07

Регион	S, тыс. км2	Аномалии, тыс км2/%							1978-2022гг			
		2007 г	2012 г	2016 г	2020 г	2021 г	2012-2022гг	1978-2022гг	Минимум дата	Максимум дата	Среднее	Медиана
Сев. полярная область	8397.4	425.7	529.1	379.4	869.5	555.5	372.4	-741.0	6208.6	11692.7	9138.4	9187.8
		5.3	6.7	4.7	11.6	7.1	4.6	-8.1	31.07.2020	01.07.1983		
Сектор 45°W-95°E	1595.3	-370.7	-56.5	221.4	-36.6	-103.3	-99.1	-593.2	1112.6	3351.0	2188.4	2189.9
		-18.9	-3.4	16.1	-2.2	-6.1	-5.8	-27.1	31.07.2018	01.07.1981		
Гренландское море	349.9	-139.1	-160.6	37.1	-110.5	87.4	-34.9	-134.1	155.8	813.8	484.0	488.1
		-28.4	-31.5	11.9	-24.0	33.3	-9.1	-27.7	31.07.2018	01.07.1981		
Баренцево море	34.2	-58.7	8.6	20.6	-39.6	-51.4	-32.9	-171.2	1.3	680.4	205.5	165.6
		-63.2	33.6	150.8	-53.7	-60.0	-49.0	-83.3	24.07.2016	01.07.1979		
Карское море	248.8	-151.5	129.5	96.9	99.2	-90.7	-22.5	-255.2	28.5	839.2	504.0	539.8
		-37.8	108.6	63.7	66.3	-26.7	-8.3	-50.6	29.07.2012	01.07.1999		
Сектор 95°E-170°W	2772.9	360.7	-12.6	-216.5	717.4	468.2	153.3	-160.5	1504.0	3523.6	2933.5	3044.0
		15.0	-0.5	-7.2	34.9	20.3	5.9	-5.5	23.07.2020	01.07.1985		
Море Лаптевых	379.0	12.4	29.0	-252.9	284.7	237.3	34.0	-119.0	11.6	674.3	498.1	554.6
		3.4	8.3	-40.0	301.6	167.5	9.9	-23.9	21.07.2020	01.07.1992		
Восточно-Сибирское море	760.5	238.8	41.0	66.9	351.9	244.5	100.0	-19.2	83.0	915.1	779.7	849.4
		45.8	5.7	9.7	86.1	47.4	15.1	-2.5	23.07.2020	01.07.1988		
Чукотское море	250.7	99.1	-135.5	-47.4	29.9	-59.9	9.3	-71.9	21.0	558.8	322.5	336.7
		65.4	-35.1	-15.9	13.6	-19.3	3.8	-22.3	31.07.2019	01.07.1983		
Берингово море	19.6	15.2	14.9	6.1	2.6	-0.3	8.9	12.3	0.0	83.9	7.3	6.0
		342.1	314.3	45.5	15.5	-1.6	82.9	167.0	01.07.1987	01.07.1985		
Сектор 170°W-45°W	4029.3	435.7	598.2	375.2	188.7	190.5	318.3	12.8	2734.3	5501.5	4016.5	3966.5
		12.1	17.4	10.3	4.9	5.0	8.6	0.3	29.07.2019	01.07.1983		
Море Бофорта	388.3	90.2	210.8	146.0	-12.7	9.6	68.8	29.5	40.8	486.6	358.9	385.9
		30.2	118.8	60.2	-3.2	2.5	21.5	8.2	31.07.2008	01.07.1992		
Гудзонов залив	130.5	51.6	31.8	-63.2	-52.4	45.5	-18.0	-76.9	11.7	798.3	207.4	130.2
		65.4	32.3	-32.7	-28.6	53.5	-12.2	-37.1	18.07.2010	01.07.1992		
Море Лабрадор	7.8	2.0	-0.2	-5.4	1.2	-0.2	-3.7	-5.6	0.0	136.7	13.3	7.8
		33.8	-2.6	-40.7	18.4	-2.1	-32.1	-41.6	07.07.2000	01.07.1984		
Дейвисов пролив	186.5	47.5	99.5	24.9	54.8	102.3	50.2	19.6	7.2	376.3	166.9	171.5
		34.1	114.5	15.4	41.6	121.7	36.8	11.8	29.07.2003	01.07.1984		
Канадский архипелаг	881.0	36.2	41.9	41.2	65.7	22.1	32.1	-34.0	621.1	1178.3	915.0	911.2
		4.3	5.0	4.9	8.1	2.6	3.8	-3.7	30.07.2020	02.07.1983		

Таблица 9 – Средние, аномалии среднего и экстремальные значения ледовитостей для Южного океана и его отдельных акваторий за текущие 7-дневный (неделя) и 30-дневный промежутки времени по данным наблюдений SSMR-SSM/I-SSMIS, алгоритм NASATEAM за период 1978-2017 гг.

25-31.07

Регион	S, тыс. км2	Аномалии, тыс км2/%							1978-2022гг			
		2007 г	2012 г	2016 г	2020 г	2021 г	2012-2022гг	1978-2022гг	Минимум дата	Максимум дата	Среднее	Медиана
Южный Океан	15690.8	-1409.1	-1352.8	-999.5	-739.1	-1682.4	-1157.8	-1139.1	15368.3	18102.2	16829.9	16853.0
		-8.2	-7.9	-6.0	-4.5	-9.7	-6.9	-6.8	26.07.2022	31.07.2014		
Атлантический сектор	5947.8	-1169.4	-668.2	-967.4	-981.4	-1014.5	-673.7	-739.5	5892.7	7666.4	6687.3	6655.6
		-16.4	-10.1	-14.0	-14.2	-14.6	-10.2	-11.1	25.07.2011	25.07.1992		
Западная часть моря Уэдделла	2269.2	-426.7	6.8	-120.8	-269.5	-150.8	-114.6	-185.2	2118.3	3027.0	2454.5	2409.8
		-15.8	0.3	-5.1	-10.6	-6.2	-4.8	-7.5	31.07.1989	31.07.1980		
Восточная часть моря Уэдделла	3678.6	-742.8	-675.0	-846.6	-711.9	-863.7	-559.1	-554.3	3529.9	4903.2	4232.8	4265.1
		-16.8	-15.5	-18.7	-16.2	-19.0	-13.2	-13.1	25.07.1986	29.07.1992		
Индоокеанский сектор	3441.3	58.9	-646.3	-303.4	-142.1	-574.7	-352.4	-347.0	3140.4	4338.1	3788.3	3765.5
		1.7	-15.8	-8.1	-4.0	-14.3	-9.3	-9.2	27.07.2002	31.07.2006		
Море Космонавтов	947.5	237.6	-136.6	114.6	97.9	-37.6	1.2	30.9	619.1	1329.8	916.6	897.3
		33.5	-12.6	13.8	11.5	-3.8	0.1	3.4	27.07.2002	30.07.2010		
Море Содружества	1221.9	-80.7	-27.3	135.0	3.1	-73.7	-15.0	-80.1	923.7	1623.1	1302.0	1305.4
		-6.2	-2.2	12.4	0.3	-5.7	-1.2	-6.1	25.07.2016	27.07.2001		
Море Моусона	1271.8	-98.0	-482.5	-553.0	-243.0	-463.3	-338.6	-297.8	1155.6	2000.4	1569.6	1572.4
		-7.2	-27.5	-30.3	-16.0	-26.7	-21.0	-19.0	27.07.2018	31.07.1998		
Тихоокеанский сектор	6301.7	-298.6	-38.3	271.4	384.3	-93.2	-131.7	-52.7	5485.9	7353.0	6354.3	6362.6
		-4.5	-0.6	4.5	6.5	-1.5	-2.0	-0.8	30.07.1980	31.07.2013		
Море Росса	5503.2	-30.3	232.3	470.9	496.8	24.2	134.7	228.6	3993.2	6063.6	5274.6	5291.7
		-0.5	4.4	9.4	9.9	0.4	2.5	4.3	31.07.1980	30.07.2013		
Море Беллинсгаузена	798.5	-268.3	-270.6	-199.6	-112.4	-117.4	-266.5	-281.3	465.9	1589.4	1079.8	1040.5
		-25.2	-25.3	-20.0	-12.3	-12.8	-25.0	-26.1	28.07.2000	28.07.1995		

01-31.07

Регион	S, тыс. км2	Аномалии, тыс км2/%							1978-2022гг			
		2007 г	2012 г	2016 г	2020 г	2021 г	2012-2022гг	1978-2022гг	Минимум дата	Максимум дата	Среднее	Медиана
Южный Океан	14896.1	-1076.5	-1310.3	-1021.2	-694.2	-1485.7	-1088.6	-1067.5	13694.3	18102.2	15963.6	15994.3
		-6.7	-8.1	-6.4	-4.5	-9.1	-6.8	-6.7	01.07.2022	31.07.2014		
Атлантический сектор	5693.6	-887.3	-743.2	-917.6	-905.8	-812.5	-619.4	-647.9	5097.4	7666.4	6341.5	6335.9
		-13.5	-11.5	-13.9	-13.7	-12.5	-9.8	-10.2	01.07.2011	25.07.1992		
Западная часть моря Уэдделла	2237.7	-390.0	-118.5	-178.9	-269.1	-54.1	-128.2	-179.9	2033.2	3027.0	2417.6	2391.1
		-14.8	-5.0	-7.4	-10.7	-2.4	-5.4	-7.4	11.07.1999	31.07.1980		
Восточная часть моря Уэдделла	3455.9	-497.3	-624.8	-738.7	-636.7	-758.4	-491.2	-468.0	2971.5	4903.2	3923.9	3924.9
		-12.6	-15.3	-17.6	-15.6	-18.0	-12.4	-11.9	01.07.2022	29.07.1992		
Индоокеанский сектор	3286.5	9.7	-394.2	-183.4	-25.4	-400.0	-222.5	-217.7	2620.3	4338.1	3504.2	3486.9
		0.3	-10.7	-5.3	-0.8	-10.9	-6.3	-6.2	01.07.1991	31.07.2006		
Море Космонавтов	808.1	63.9	-116.3	110.5	55.2	-118.6	-21.4	-5.9	407.3	1329.8	813.9	812.8
		8.6	-12.6	15.8	7.3	-12.8	-2.6	-0.7	01.07.2003	30.07.2010		
Море Содружества	1112.3	-140.6	-14.1	29.6	-17.4	-57.1	-34.9	-105.0	867.2	1623.1	1217.3	1219.5
		-11.2	-1.2	2.7	-1.5	-4.9	-3.0	-8.6	01.07.2019	27.07.2001		
Море Моусона	1366.1	86.4	-263.9	-323.5	-63.1	-224.3	-166.2	-106.8	1050.0	2000.4	1473.0	1475.1
		6.8	-16.2	-19.1	-4.4	-14.1	-10.8	-7.3	06.07.2002	31.07.1998		
Тихоокеанский сектор	5915.9	-199.0	-172.9	79.8	236.9	-273.2	-246.7	-202.0	4957.8	7353.0	6117.9	6102.8
		-3.3	-2.8	1.4	4.2	-4.4	-4.0	-3.3	01.07.2017	31.07.2013		
Море Росса	5171.8	-21.1	75.1	260.7	229.4	-146.1	-17.4	60.9	3721.4	6063.6	5110.9	5102.5
		-0.4	1.5	5.3	4.6	-2.7	-0.3	1.2	01.07.1980	30.07.2013		
Море Беллинсгаузена	744.1	-177.8	-248.0	-180.9	7.5	-127.1	-229.3	-262.9	373.4	1589.4	1007.0	969.9
		-19.3	-25.0	-19.6	1.0	-14.6	-23.6	-26.1	01.07.1998	28.07.1995		

Таблица 10 – Динамика изменения значений ледовитости по сравнению с предыдущей неделей для морей Северной полярной области и Южного океана за текущий 7-дневный (неделя) промежуток времени по данным наблюдений SSMIS

25-31.07				
Регион	Сев. полярная область	Сектор 45°W-95°E	Гренландское море	Баренцево море
Разность	-662.8	-118.9	-5.9	-4.1
тыс.кв.км/сут.	-94.7	-17.0	-0.8	-0.6

25-31.07				
Регион	Карское море	Сектор 95°E-170°W	Море Лаптевых	Восточно-Сибирское море
Разность	-113.6	-291.3	-106.1	-85.4
тыс.кв.км/сут.	-16.2	-41.6	-15.2	-12.2

25-31.07				
Регион	Чукотское море	Берингово море	Сектор 170°W-45°W	Море Бофорта
Разность	-50.0	-5.7	-252.6	-29.8
тыс.кв.км/сут.	-7.1	-0.8	-36.1	-4.3

25-31.07				
Регион	Гудзонов залив	Море Лабрадор	Дейвисов пролив	Канадский архипелаг
Разность	-6.4	-0.3	-46.8	-131.7
тыс.кв.км/сут.	-0.9	0.0	-6.7	-18.8

25-31.07				
Регион	Южный Океан	Атлантический сектор	Западная часть моря Уэдделла	Восточная часть моря Уэдделла
Разность	281.5	-19.5	32.2	-51.8
тыс.кв.км/сут.	40.2	-2.8	4.6	-7.4

25-31.07				
Регион	Индоокеанский сектор	Море Космонавтов	Море Содружества	Море Моусона
Разность	32.1	58.7	114.7	-141.2
тыс.кв.км/сут.	4.6	8.4	16.4	-20.2

25-31.07				
Регион	Тихоокеанский сектор	Море Росса	Море Беллинсгаузена	
Разность	268.9	293.3	-24.4	
тыс.кв.км/сут.	38.4	41.9	-3.5	

Характеристика исходного материала и методика расчетов

Для иллюстрации ледовых условий Арктического региона представлены совмещенные региональные карты ААНИИ [4, 6], Канадской ледовой службы – КЛС [12], Национального ледового центра США – НЛЦ [10], при наличии данных, ГМЦ России [8], НИЦ Планета [9] и ледовой службы Германии. Совмещение карт выполнено путем перекрытия слоев (ААНИИ, слой #1), (ГМЦ России или НИЦ Планета, слой #1), (BSH, слой #1) -> (КЛС, слой #2) -> (обзорная карта НЛЦ, слой #3). Как результат, карты ААНИИ характеризуют ледовые условия морей Гренландского...Бофорта, карты ГМЦ России или НИЦ Планета – Азовского, Каспийского, Берингова, Охотского, Японского, Белого, карты НЛЦ – Северных частей Тихого и Атлантического океанов и Арктического бассейна (при этом полный охват карт НЛЦ – вся акватория СЛО и субполярные моря). карты BSH – Балтийского карты КЛС - морей Бофорта, Канадского архипелага, Баффина, Девисова пролива, Лабрадор, Св. Лаврентия (при этом полный охват карт НЛЦ – вся акватория СЛО и субполярные моря). Для ледовых условий и распределения айсбергов Южного океана использованы данные проекта по интегрированному ледовому анализу Южного океана – циркумполярные карты ААНИИ [5, 7], НЛЦ [10, 11] и карты акватории Антарктического полуострова Норвежского метеорологического института (НМИ) [21]. Для построения совмещенных карт используется архив данных в обменном формате ВМО СИГРИД-3 [18] Мирового центра данных по морскому льду (МЦД МЛ) – проекта ВМО «Глобальный Банк Цифровых Данных по Морскому Льду». В пределах отдельного срока выборка карт из архива проводилась по критериям близости карт к сроку выпуска карты ААНИИ с максимальным интервалом времени между картами до 7 суток (день недели выпуска карт ААНИИ – вторник, ГМЦ России – среда, НИЦ Планета – понедельник, BSH – понедельник, КЛС – понедельник, НЛЦ – четверг для морского льда и пятница – для крупных айсбергов Южного океана, НМИ - понедельник).

Для иллюстрации полей толщин льда СЛО использованы ежедневные данные по распределению средневзвешенной толщины льда численной модели НУСОМ-СІСЕ Датского метеорологического института (ДМИ) [20]. Численная модель НУСОМ-СІСЕ имеет разрешение 10x10 км и является совместной моделью морского льда – океана. Портал полярных данных ДМИ [22] используется также как источник данных по оценке объема льда СЛО, температуры поверхности океана/морского льда, аномалий температуры воздуха и поля приземного ветра.

Для иллюстрации ледовых условий Северной Полярной области и Южного океана за последние сутки используются ежедневные циркумполярные ледовые информационные продукты НЛЦ США по оценке расположения кромки льда и ледяных массивов - MIZ (Marginal Ice Zone).

Для цветовой окраски карт использован стандарт ВМО (WMO/Td. 1215) [19] для зимнего (по возрасту) и летнего (по общей сплоченности) периодов. Следует также отметить, что в зонах стыковки карт ААНИИ, КЛС и НЛЦ наблюдается определенная несогласованность границ и характеристик ледовых зон вследствие ряда различий в ледовых информационных системах подготавливающих служб. Однако, данная несогласованность несущественна для целей интерпретации ледовых условий в рамках настоящего обзора.

Для получения оценок ледовитости (extent) и приведенной ледовитости – площади льда (area) отдельных секторов, морей, частей морей Северной полярной области и Южного океана и климатического положения кромок заданной повторяемости на основе данных спутниковых систем пассивного микроволнового зондирования SSMR-SSM/I-SSMIS [17] в МЦД МЛ ААНИИ принята следующая технология расчетов:

- источник данных – архивные (Cavalieri et al., 2008, Meier et al., 2006) и квазиоперативные (Maslanik and Stroeve, 1999) с задержкой 1-2 дня ежедневные матрицы (поля распределения) оценок общей сплоченности Северной (севернее 45° с.ш.) и Южной (южнее 50° с.ш.) Полярных областей на основе обработанных по алгоритму NASATEAM данных многоканальных микроволновых радиометров SSMR-SSM/I-SSMIS ИСЗ NIMBUS-7 и DMSP за период с 26.10.1978 г. по настоящий момент времени [13, 14, 15], копируемые с сервера НЦДСЛ;

- область расчета – Северная и Южная Полярные области и их регионы с использованием масок океан/суша НЦДСЛ (http://nsidc.org/data/polar_stereo/tools_masks.html);
- границы используемых масок расчета отдельных меридиональных секторов, морей, частей морей Северной полярной области и Южного океана представлены на рисунках П1 – П6, не совпадают с используемыми в НЦДСЛ масками для отдельных акваторий Мирового океана и основаны на номенклатуре ААНИИ для морей Евразийского шельфа (Гренландское - Чукотское), Атласе Северного ледовитого океана (1980) и Атласе океанов (1980) издательства ГУНИО МО [1, 2, 3].
- вычислительные особенности расчета – авторское программное обеспечение ААНИИ с сохранением точности расчетов и оценке статистических параметров по гистограмме распределения и свободно-распространяемое программное обеспечение GDAL для векторизации полей климатических параметров;

В графическом формате PNG совмещенные карты ААНИИ-КЛС-НЛЦ доступны по адресу <http://wdc.aari.ru/datasets/d0040>.

Результаты расчетов ледовитости Северной, Южной полярных областей, их отдельных меридиональных секторов, морей и частей морей доступны на сервере МЦД МЛ ААНИИ в каталогах соответственно <http://wdc.aari.ru/datasets/ssmi/data/north/extent/> и <http://wdc.aari.ru/datasets/ssmi/data/south/extent/>.

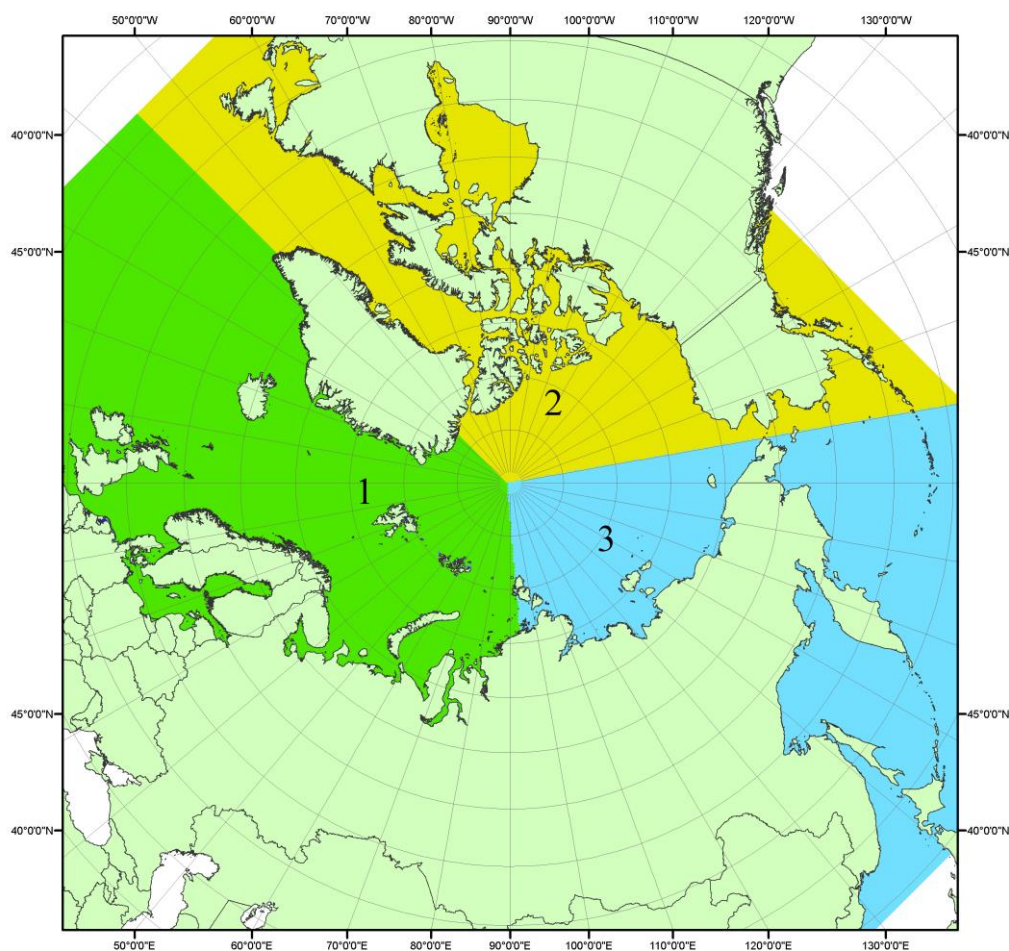


Рисунок П1 – Секторальное деление северной полярной области. 1 - Сектор 45°W-95°E (Гренландское - Карское моря); 2 - Сектор 170°W-45°W (море Бофорта и Канадская Арктика); 3 - Сектор 95°E-170°W (моря Лаптевых - Чукотское, Берингово, Охотское, Японское)

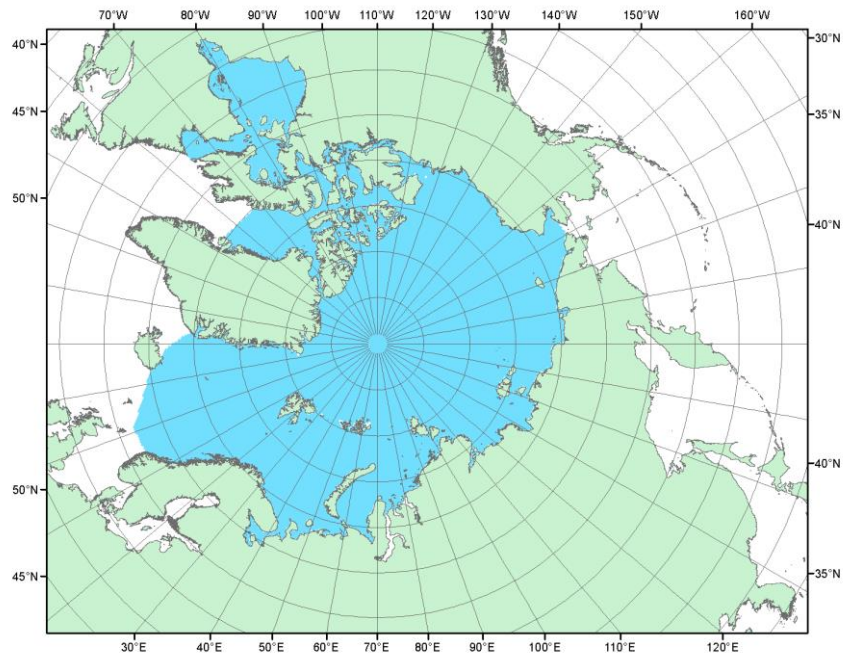


Рисунок П2 – Северный ледовитый океан в официальных границах

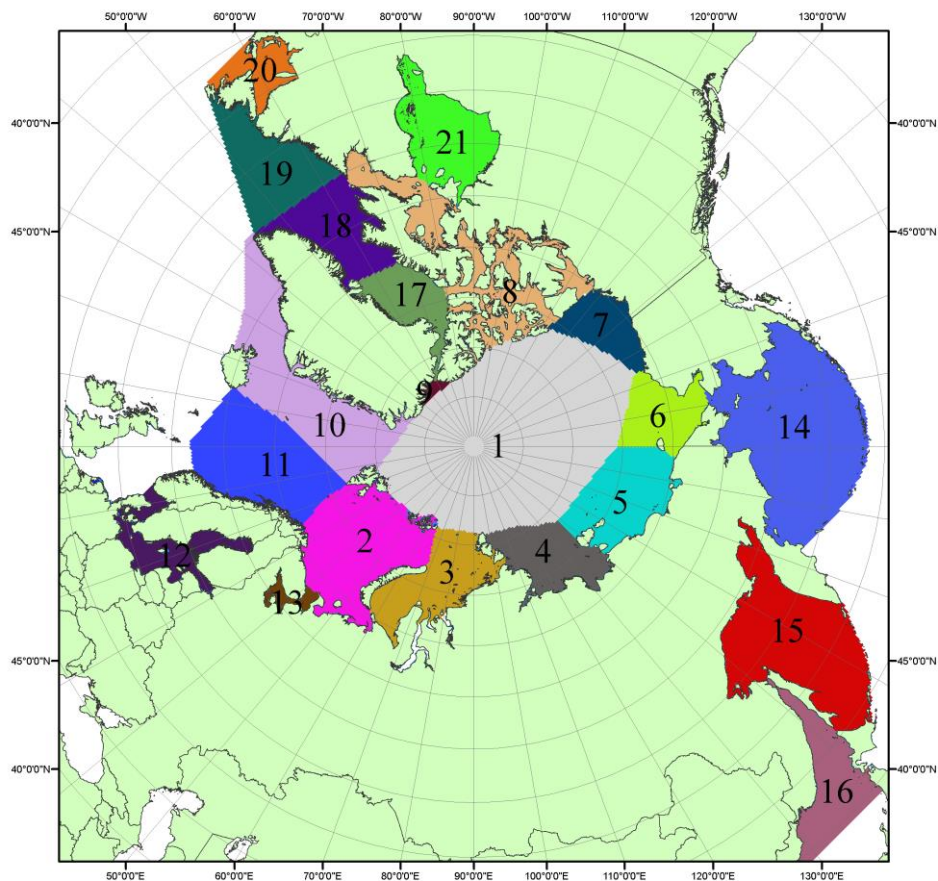


Рисунок П3 – моря северной полярной области. 1 – Арктический бассейн; 2- Баренцево море; 3 – Карское море; 4 – море Лаптевых; 5 - Восточно-Сибирское море; 6 – Чукотское море; 7 – море Бофорта; 8 – Канадский архипелаг; 9 – море Линкольна; 10 – Гренландское море; 11 – Норвежское море; 12 – Балтийское море; 13 – Белое море; 14 – Берингово море; 15 – Охотское море; 16 – Японское море; 17 – море Баффина; 18 – Дейвисов пролив; 19 – море Лабрадор; 20 – залив Святого Лаврентия; 21 – Гудзонов залив.

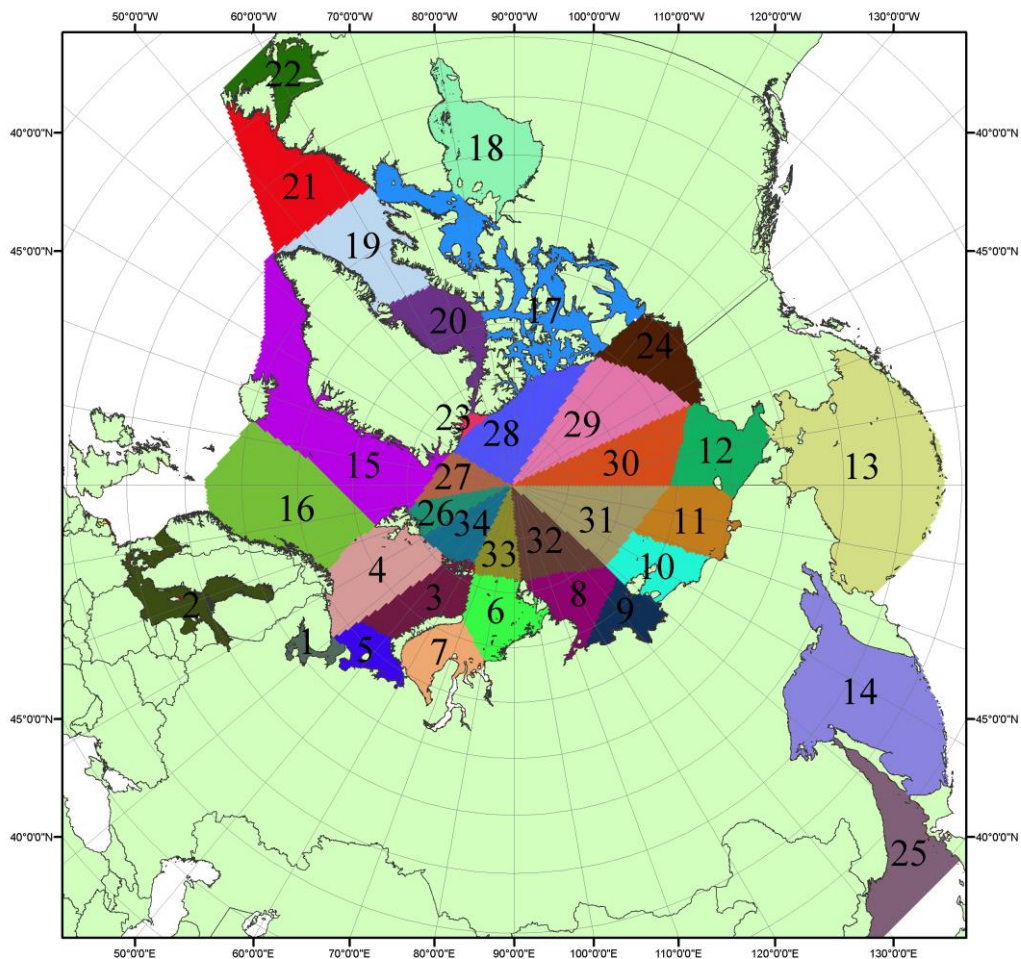


Рисунок П4 – Сектора и моря северной полярной области. 1 - Белое море; 2- Балтийское море; 3 – Баренцево море (СВ); 4 – Баренцево море (З); 5 - Баренцево море (ЮВ); 6 – Карское море (СВ); 7 – Карское море (ЮЗ); 8 – море Лаптевых (В); 9 – море Лаптевых (З); 10 – Восточно-Сибирское море (З); 11 – Восточно-Сибирское море (В); 12 –Чукотское море; 13 –Берингово море; 14 – Охотское море; 15 –Гренландское море; 16 – Норвежское море; 17 – Канадский архипелаг; 18 – Гудзонов залив; 19 – Дейвисов пролив; 20 - море Баффина; 21 – море Лабрадор; 22 - залив Святого Лаврентия; 23 - море Линкольна; 24 - море Бофорта; 25 - Японское море; 26 - сектор АО (30°з.д. – 10°в.д.); 27 – сектор АО (10°в.д. – 30°в.д.); 28 - сектор АО (30°в.д. – 65°в.д.); 29 - сектор АО (65°в.д. – 96°в.д.);30 - сектор АО (96°в.д. – 140°в.д.);31 - сектор АО (140°в.д. – 180°в.д.); 32 - сектор АО (180°в.д. – 156°з.д.); 33 - сектор АО (156°з.д. – 123°з.д.); 34 - сектор АО (123°з.д. – 30°з.д.).

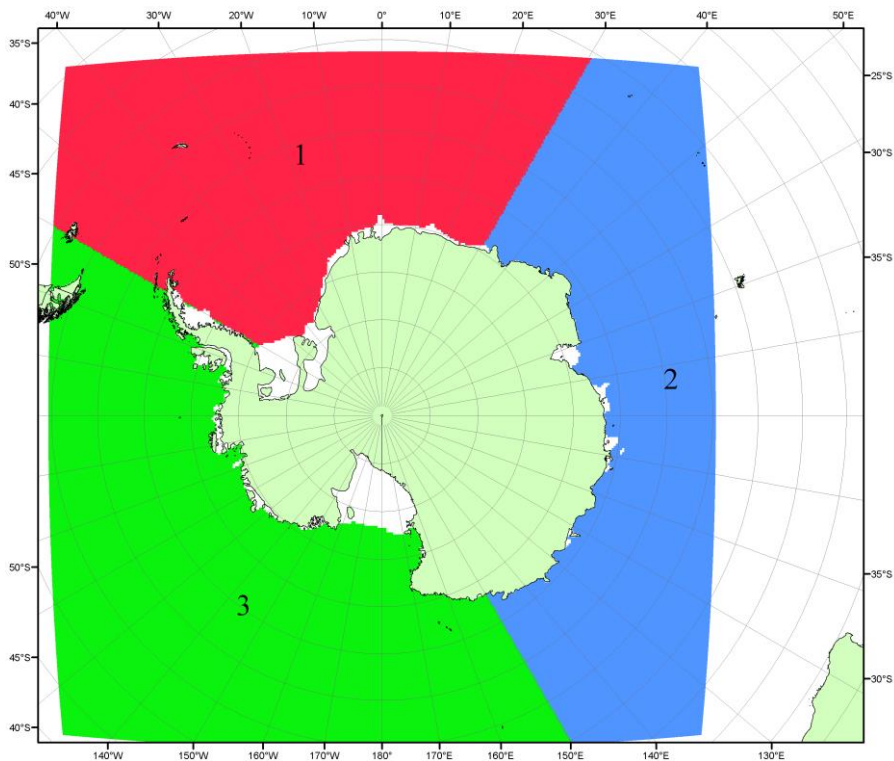


Рисунок П5 – Секторальное деление Южного океана. 1 - Атлантический сектор (60°W-30°E, море Уэдделла); 2 - Индоокеанский сектор (30°E-150°E, моря Космонавтов, Содружества, Моусона); 3 - Тихоокеанский сектор (150°E-60°W, моря Росса, Беллинсгаузена)

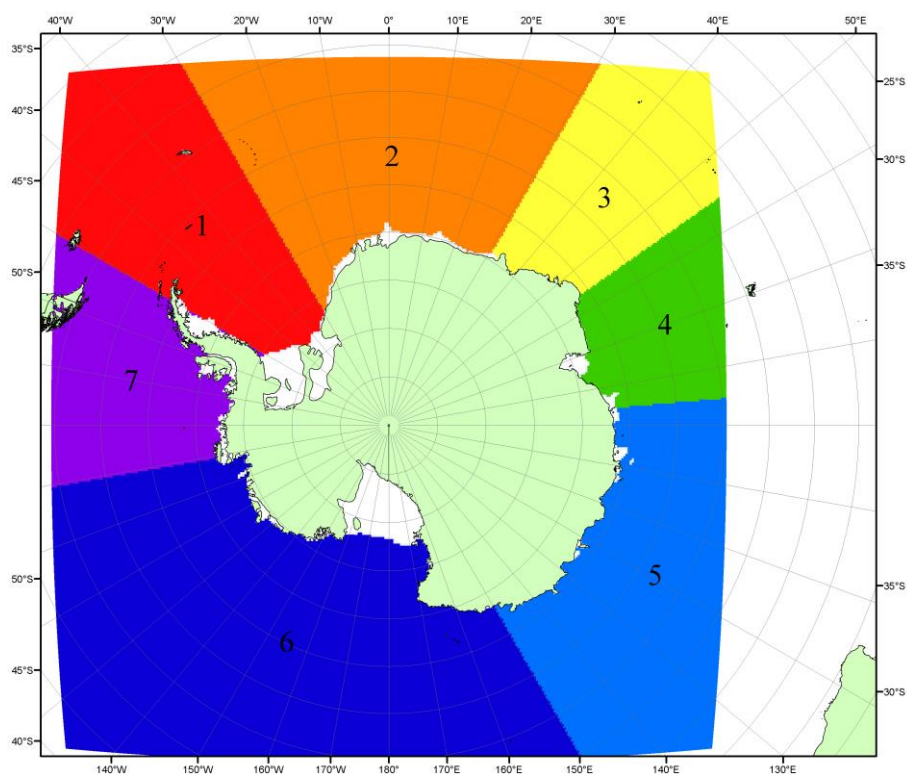


Рисунок П6 – Моря Южного океана. 1 – Западная часть моря Уэдделла; 2- Восточная часть моря Уэдделла; 3 – Море Космонавтов; 4 – море Содружества; 5 – море Моусона; 6 – море Росса; 7 – Море Беллинсгаузена.

СПИСОК ИСТОЧНИКОВ

1. Атлас океанов. Северный Ледовитый океан. – 1980. М: Изд. ГУНИО МО СССР ВМФ – 184 с.
2. Атлас океанов. Термины. Понятия. Справочные таблицы. - Изд. ВМФ МО СССР.-1980.
3. Границы океанов и морей. – 1960. Л.: Изд. ГУНИО ВМФ. – 51 с.
4. Обзорные ледовые карты ФГБУ «ААНИИ» Северного Ледовитого океана за 2008-2018 гг. в обменном формате ВМО СИГРИД-3 // Мировой центр данных по морскому льду - Глобальный банк данных по морскому льду – <http://wdc.aari.ru/datasets/d0015>.
5. Комплексные ледовые карты ФГБУ «ААНИИ» Южного океана за 2014-2018 гг. в обменном формате ВМО СИГРИД-3 // Мировой центр данных по морскому льду - Глобальный банк данных по морскому льду – <http://wdc.aari.ru/datasets/d0015>.
6. Комплексные ледовые карты ФГБУ «ААНИИ» арктических и замерзающих морей России за 1997-2018 гг. в обменном формате ВМО СИГРИД-3 // Мировой центр данных по морскому льду - Глобальный банк данных по морскому льду – <http://wdc.aari.ru/datasets/d0004>.
7. Карты ФГБУ «ААНИИ» анализа крупных айсбергов Южного океана за 2014-2018 гг. в обменном формате ВМО СИГРИД-3 // Мировой центр данных по морскому льду - Глобальный банк данных по морскому льду – <http://wdc.aari.ru/datasets/d0015>.
8. Комплексные ледовые карты ФГБУ «Гидрометцентр России» Азовского, Каспийского и Белого морей за 2000-2017 гг. в обменном формате ВМО СИГРИД-3 // Мировой центр данных по морскому льду - Глобальный банк данных по морскому льду – <http://wdc.aari.ru/datasets/d0033>.
9. Комплексные ледовые карты ФГБУ «НИЦ Планета» Азовского, Каспийского, Берингова, Охотского и Японского морей за 2016-2018 гг. в обменном формате ВМО СИГРИД-3 // Мировой центр данных по морскому льду - Глобальный банк данных по морскому льду – <http://wdc.aari.ru/datasets/d0034>.
10. Комплексные ледовые карты Северной полярной области и Южного океана Национального ледового центра США за 2003-2018 гг. в обменном формате ВМО СИГРИД-3 // Мировой центр данных по морскому льду - Глобальный банк данных по морскому льду – <http://wdc.aari.ru/datasets/d0032>.
11. Карты анализа крупных айсбергов Южного океана Национального ледового центра США за 2014-2018 гг. в обменном формате ВМО СИГРИД-3 // Мировой центр данных по морскому льду - Глобальный банк данных по морскому льду – <http://wdc.aari.ru/datasets/d0032>.
12. Комплексные ледовые карты Канадской Арктики Канадской ледовой службы за 2006-2018 гг. в обменном формате ВМО СИГРИД-3 // Мировой центр данных по морскому льду - Глобальный банк данных по морскому льду – <http://wdc.aari.ru/datasets/d0031>.
13. Cavalieri, D., C. Parkinson, P. Gloersen, and H. J. Zwally. 1996, updated 2008. *Sea Ice Concentrations from Nimbus-7 SMMR and DMSP SSM/I Passive Microwave Data*, [1978.10.26 – 2007.12.31]. Boulder, Colorado USA: National Snow and Ice Data Center. Digital media.
14. Meier, W., F. Fetterer, K. Knowles, M. Savoie, M. J. Brodzik. 2006, updated quarterly. *Sea Ice Concentrations from Nimbus-7 SMMR and DMSP SSM/I Passive Microwave Data*, [2008.01.01 – 2008.03.25]. Boulder, Colorado USA: National Snow and Ice Data Center. Digital media.
15. Maslanik, J., and J. Stroeve. 1999, updated daily. *Near-Real-Time DMSP SSM/I-SSMIS Daily Polar Gridded Sea Ice Concentrations*, [2008.03.26 – present moment]. Boulder, Colorado USA: National Snow and Ice Data Center. Digital media.
16. Andersen, S., R. Tonboe, L. Kaleschke, G. Heygster, and L. T. Pedersen, Intercomparison of passive microwave sea ice concentration retrievals over the high-concentration Arctic sea ice.// J. Geophys. Res. – 2007. – Vol. 112. C08004, doi:10.1029/2006JC003543.
17. Статистические характеристики сплоченности морского льда Северной полярной области и Южного океана на основе данных наблюдений SSMR-SSM/I-SSMIS, алгоритм NASATEAM // Мировой центр данных по морскому льду - Глобальный банк данных по морскому льду – <http://wdc.aari.ru/datasets/ssmi>.
18. SIGRID-3: A vector archive format for Sea Ice Georeferenced Information and Data - JCOMM Technical Report Series No. 23, 2014, WMO/TD-No.1214.

19. Ice Chart Colour Code Standard. - JCOMM Technical Report Series No. 24, 2004, WMO/TD-No.1215.

(http://jcomm.info/index.php?option=com_oe&task=viewDocumentRecord&docID=4914)

20. Danish Meteorological Institute North Atlantic - Arctic Ocean model HYCOM-CICE - <http://ocean.dmi.dk/models/hycom.uk.php>

21. Портал данных ледового анализа Южного океана Норвежского метеорологического института - <http://polarview.met.no/Antarctic.html>

22. Портал полярных данных Датского метеорологического института - <http://polarportal.dk>